





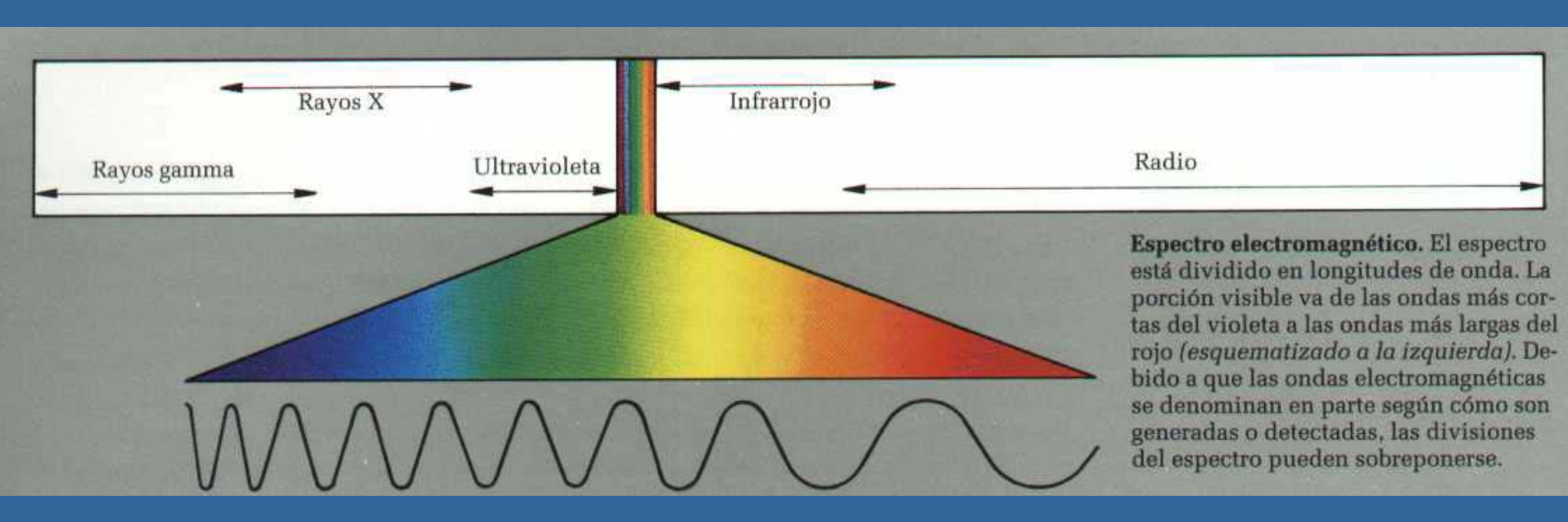
# Aplicaciones de ondículas en Astrofísica

Enrique Martínez González Instituto de Física de Cantabria

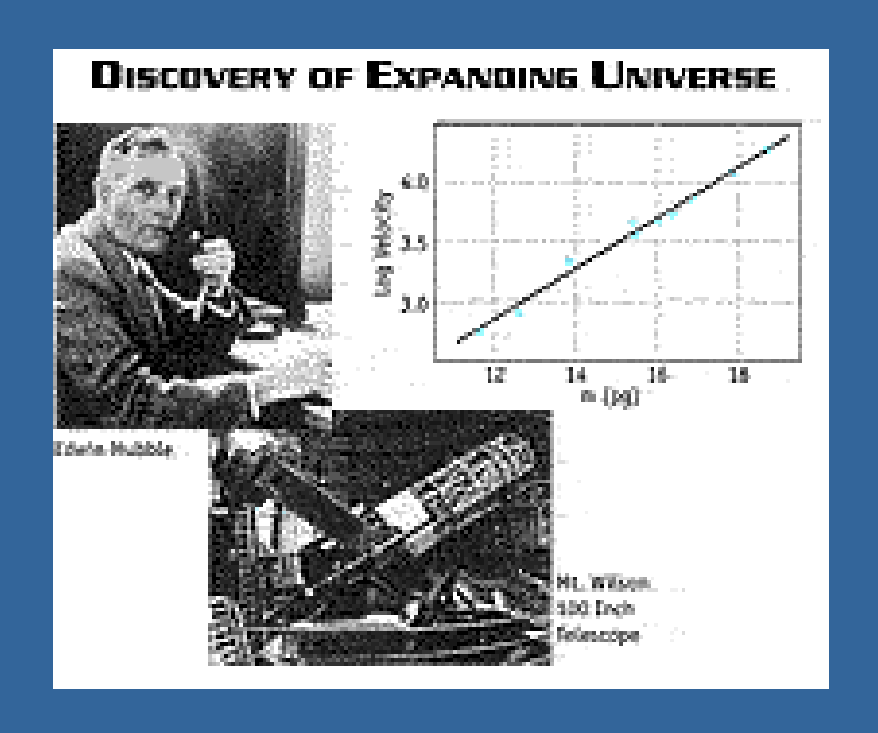
Ciclo de talleres divulgativos "Matemáticas en acción", Santander, 27 de Octubre de 2004

#### **INDICE**

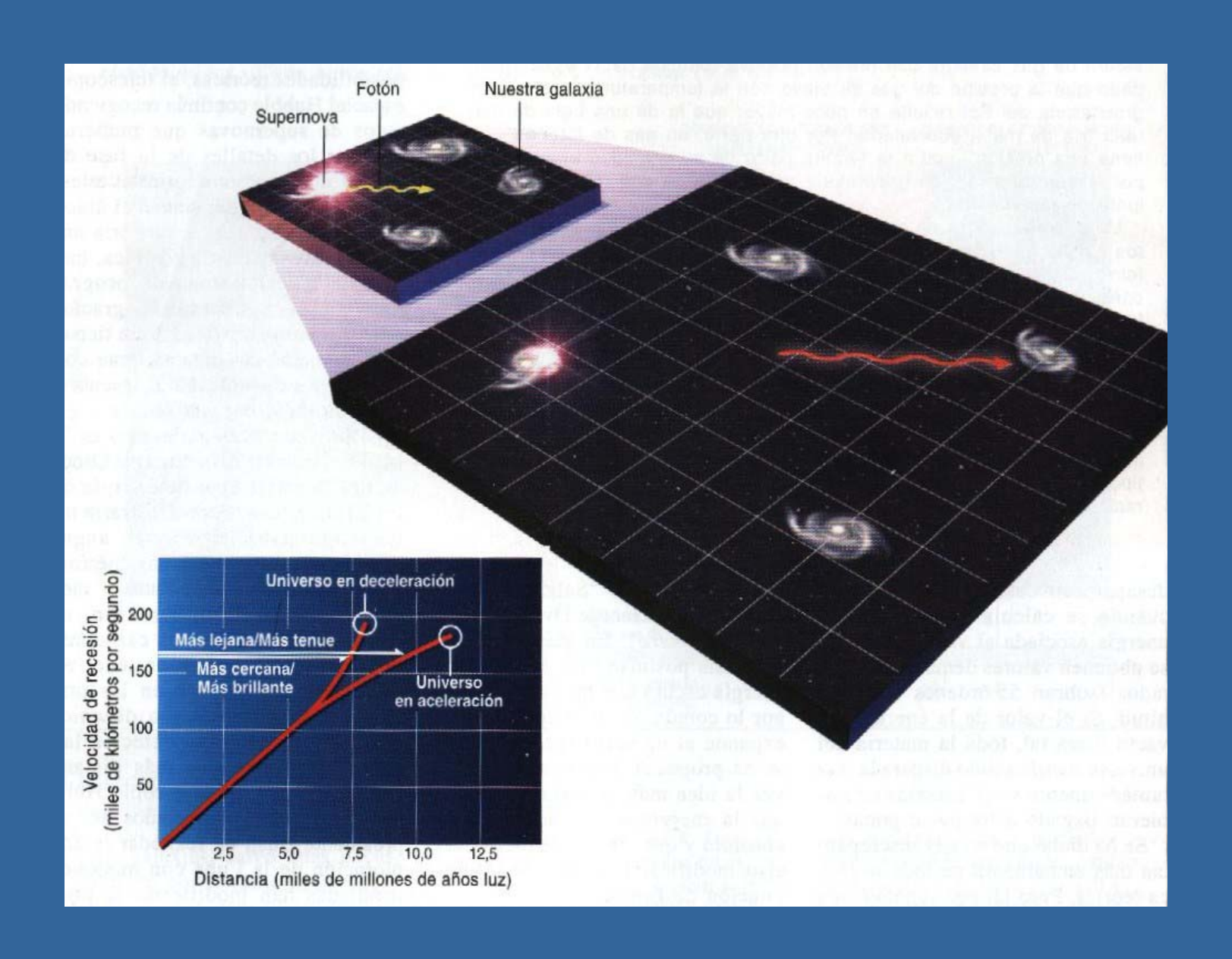
- Cosmología
- Tests fundamentales
- Radiación Cósmica del Fondo de Microondas: características
- Ondículas
- Análisis de la Radiación de Fondo con ondículas
  - Detección de fuentes extragalácticas
  - Detección del efecto SWI
- La misión WMAP
- Retos futuros: Misión Planck



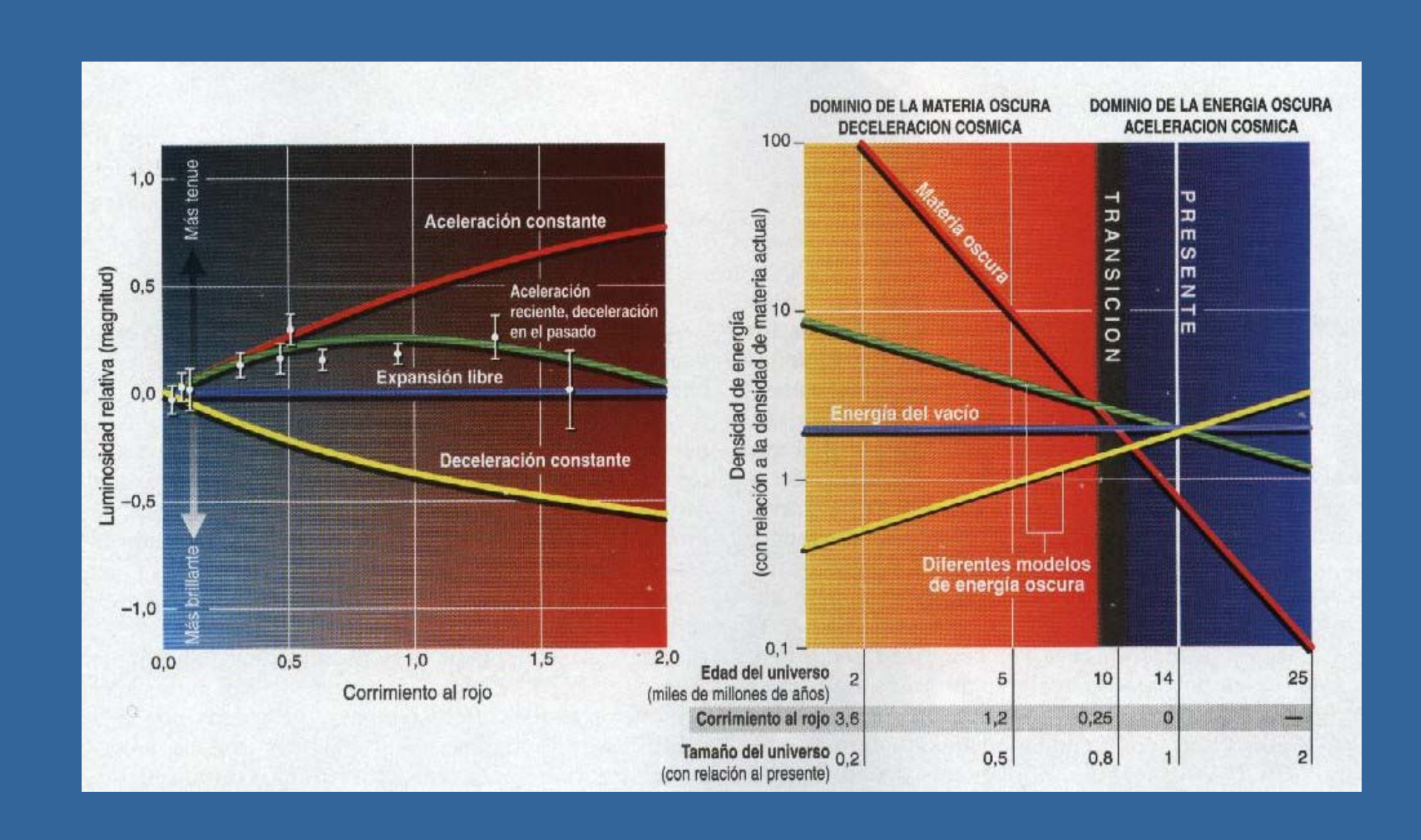
### Expansión del universo



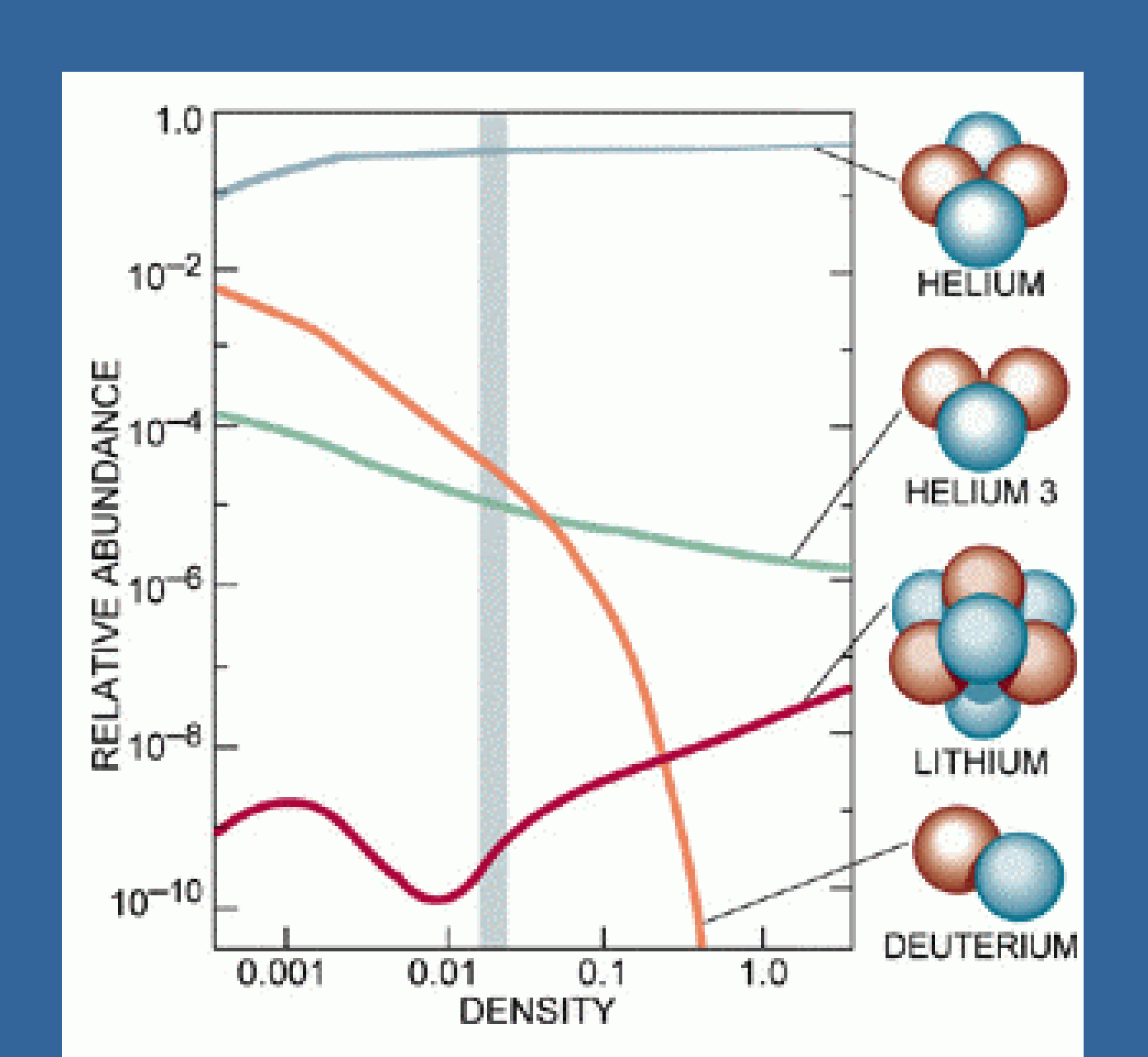
# SUPERNOVAS



### Aceleración versus deceleración



### NUCLEOSÍNTESIS PRIMORDIAL



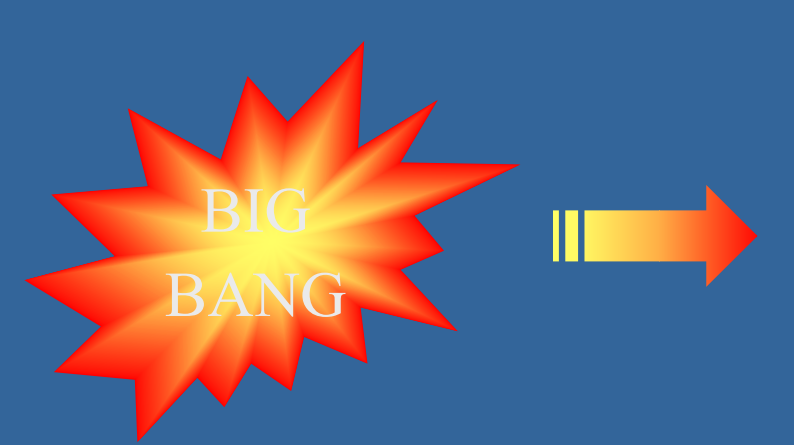
### La Radiación Cósmica del Fondo de Microondas

Radiación electromagnética muy débil que llega a la Tierra desde todas las direcciones

• Caracterizada por un espectro de cuerpo negro perfecto



# Origen de la RCFM



- Universo totalmente ionizado
- Materia y radiación en equilibrio termodinámico
- Universo opaco en expansión

$$T(z) \sim (1+z)$$

Cuando  $z \sim 1000$  (unos  $4 \times 10^5$  años)  $\longrightarrow$  T  $\sim 3000$  K

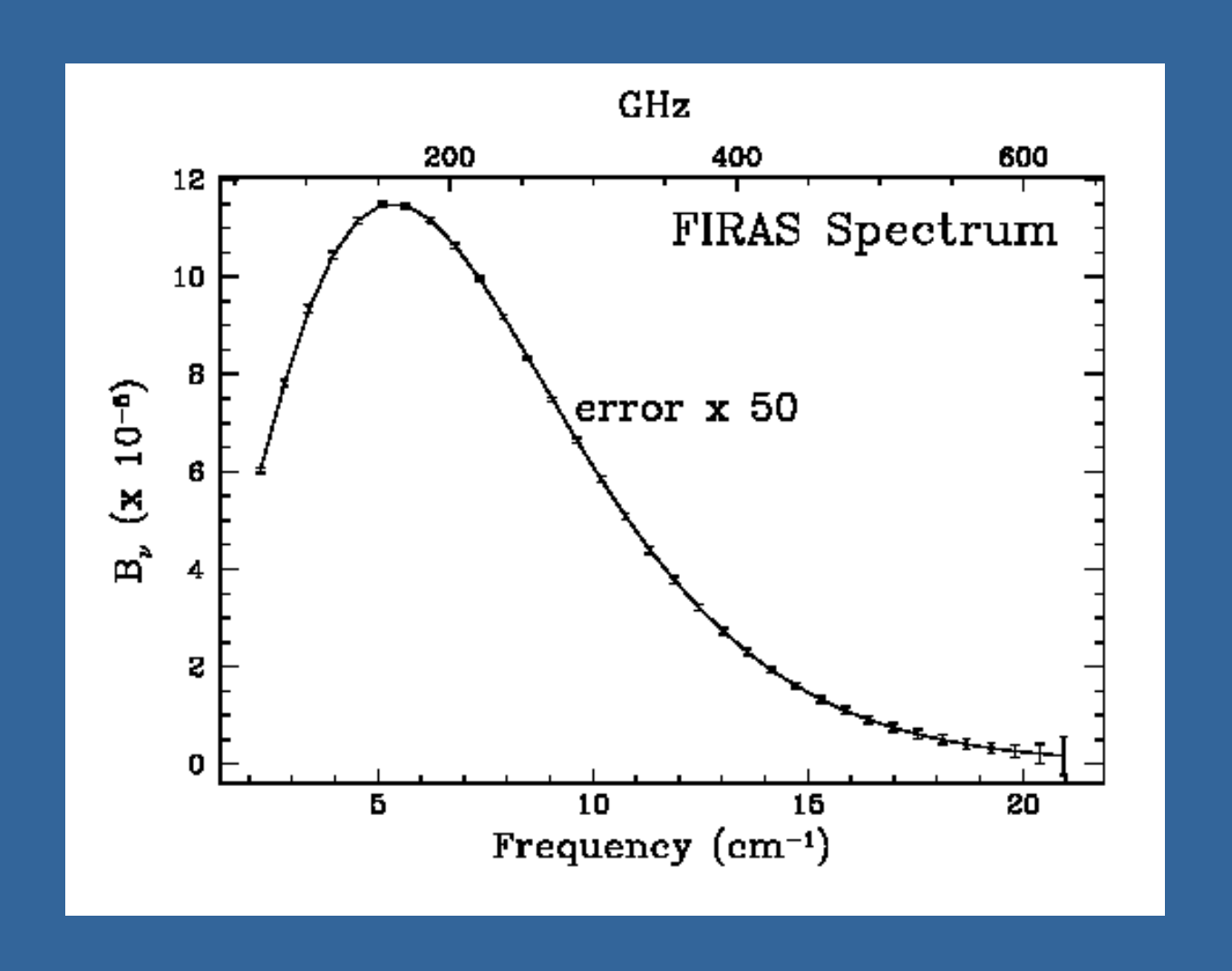


RECOMBINACIÓN

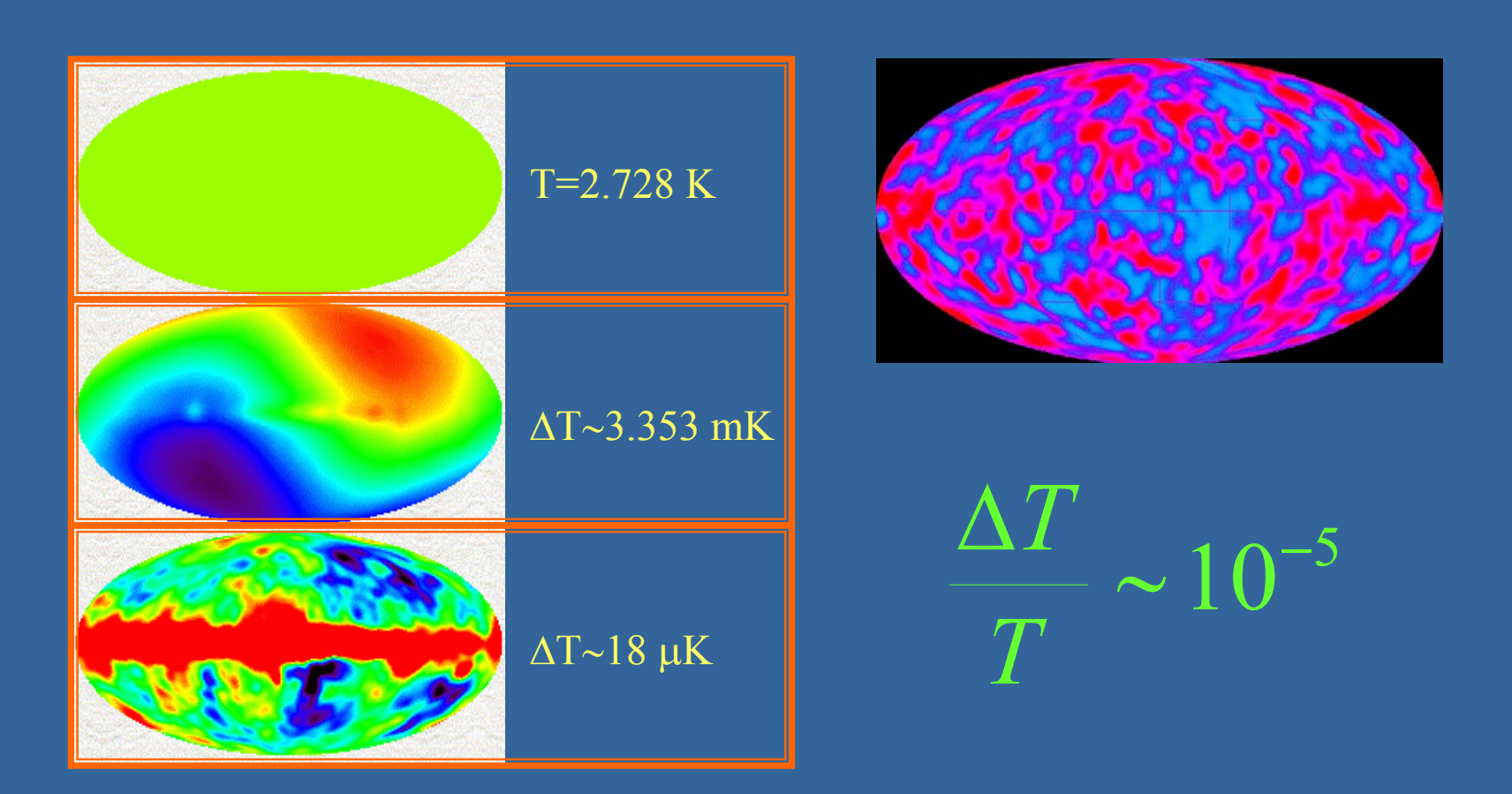
### **DESACOPLO**

Los fotones quedan libres y forman la RCFM "La imagen más antigua del Universo" El Universo se vuelve transparente

### ESPECTRO ELECTROMÁGNETICO DE LA RCFM

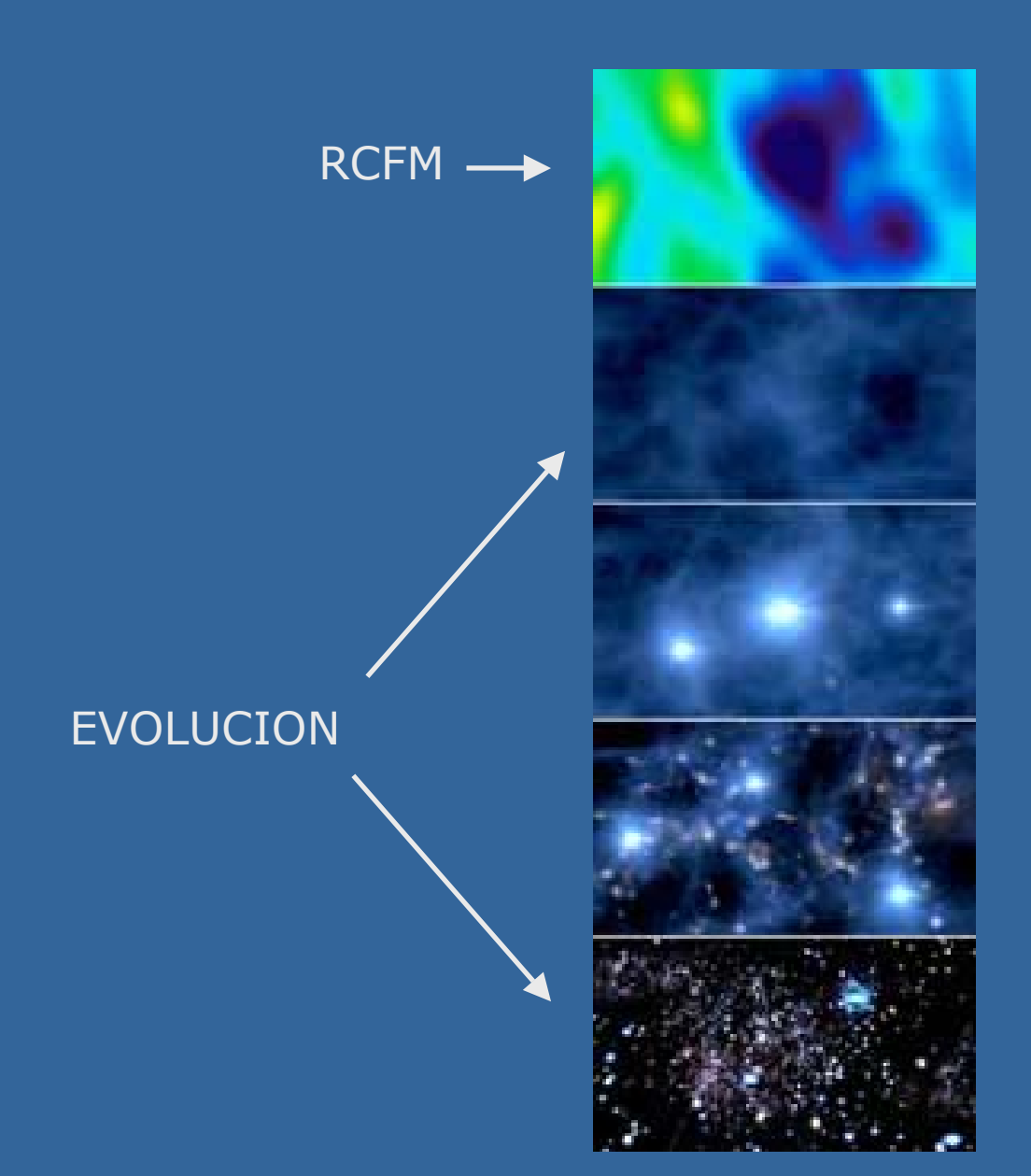


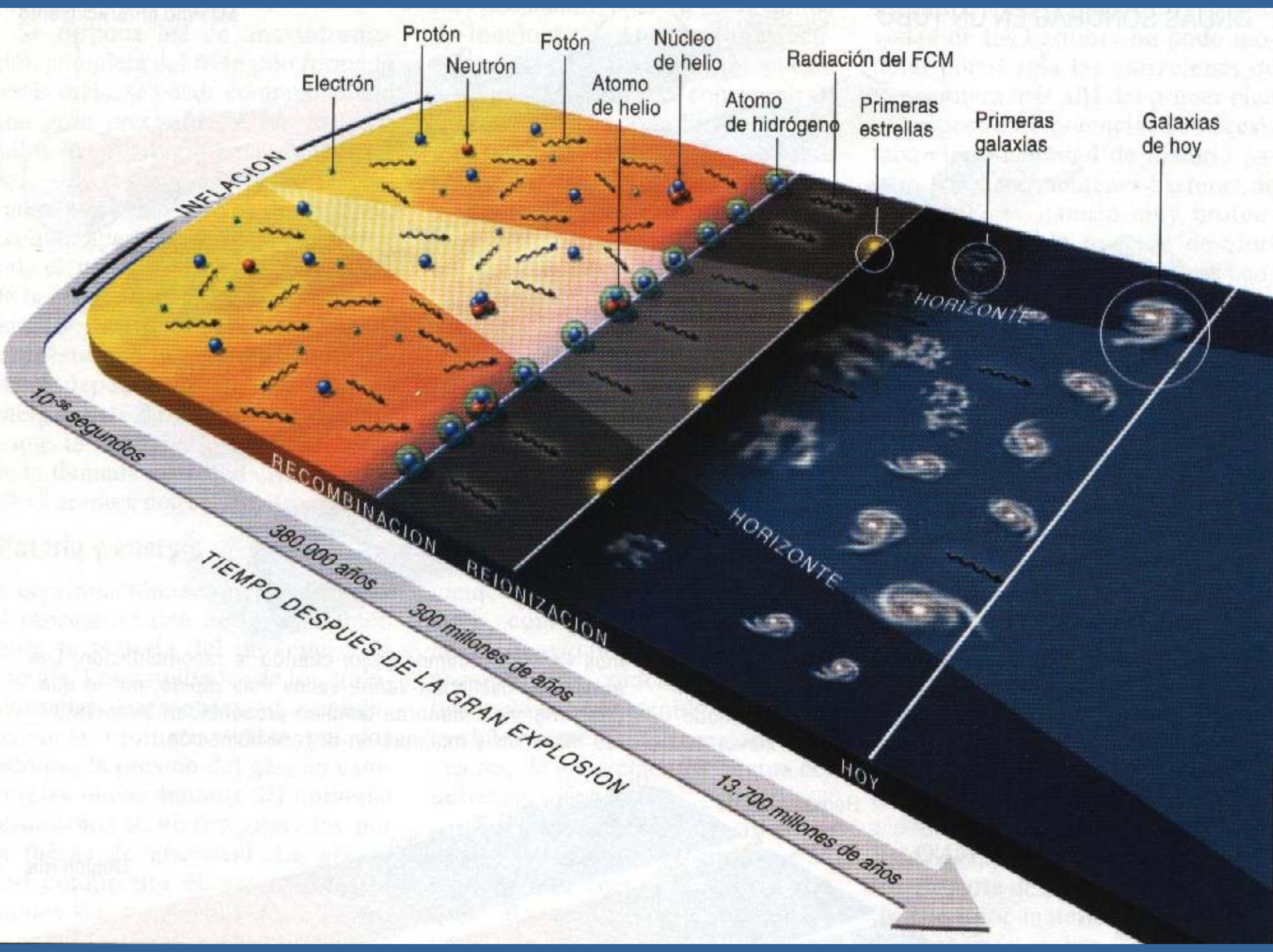
## Anisotropías de la RCFM



La huella de las fluctuaciones de densidad en el Universo primitivo

# LA RCFM Y LA MACROESTRUCTURA DEL UNIVERSO





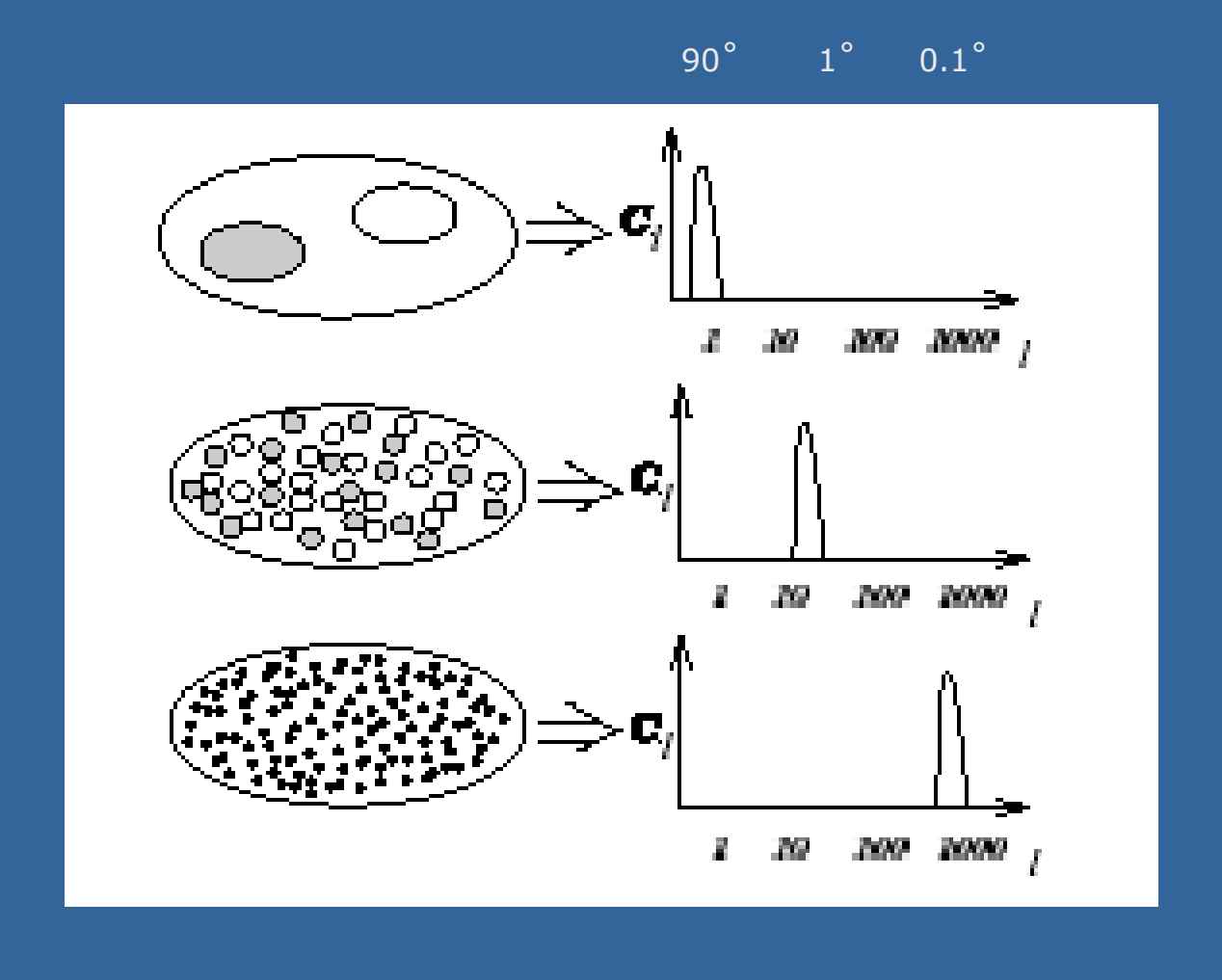
### Anisotropías de la RCFM

- Las propiedades estadísticas de las anisotropías están determinadas por el modelo cosmológico
- Las anisotropías pueden describirse en armónicos esféricos:

$$\frac{\Delta T}{T}(\vec{n}) = \sum_{\ell=1}^{\infty} \sum_{m=-\ell}^{\ell} a_{\ell m} Y_{\ell m}(\vec{n}) \qquad \ell \approx \frac{1}{\theta}$$

• Si las fluctuaciones son gausianas se caracterizan totalmente por su varianza a cada escala angular.

### ESPECTRO ANGULAR DE POTENCIAS

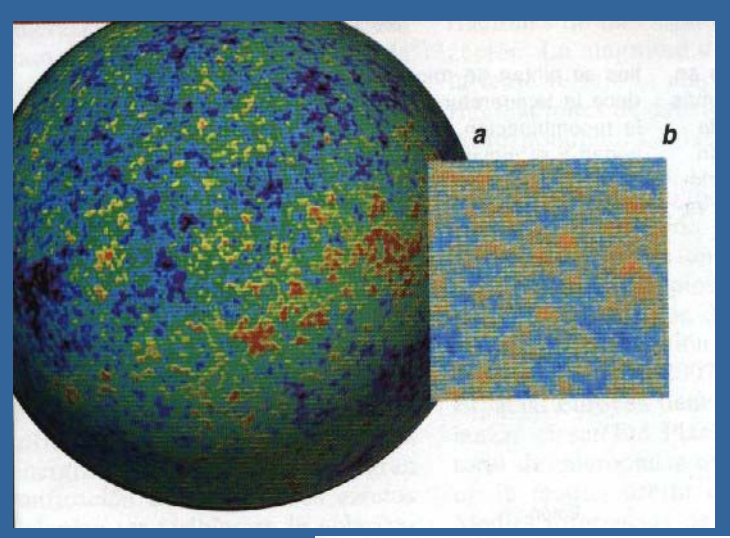


### Mecanismos generadores de anisotropía

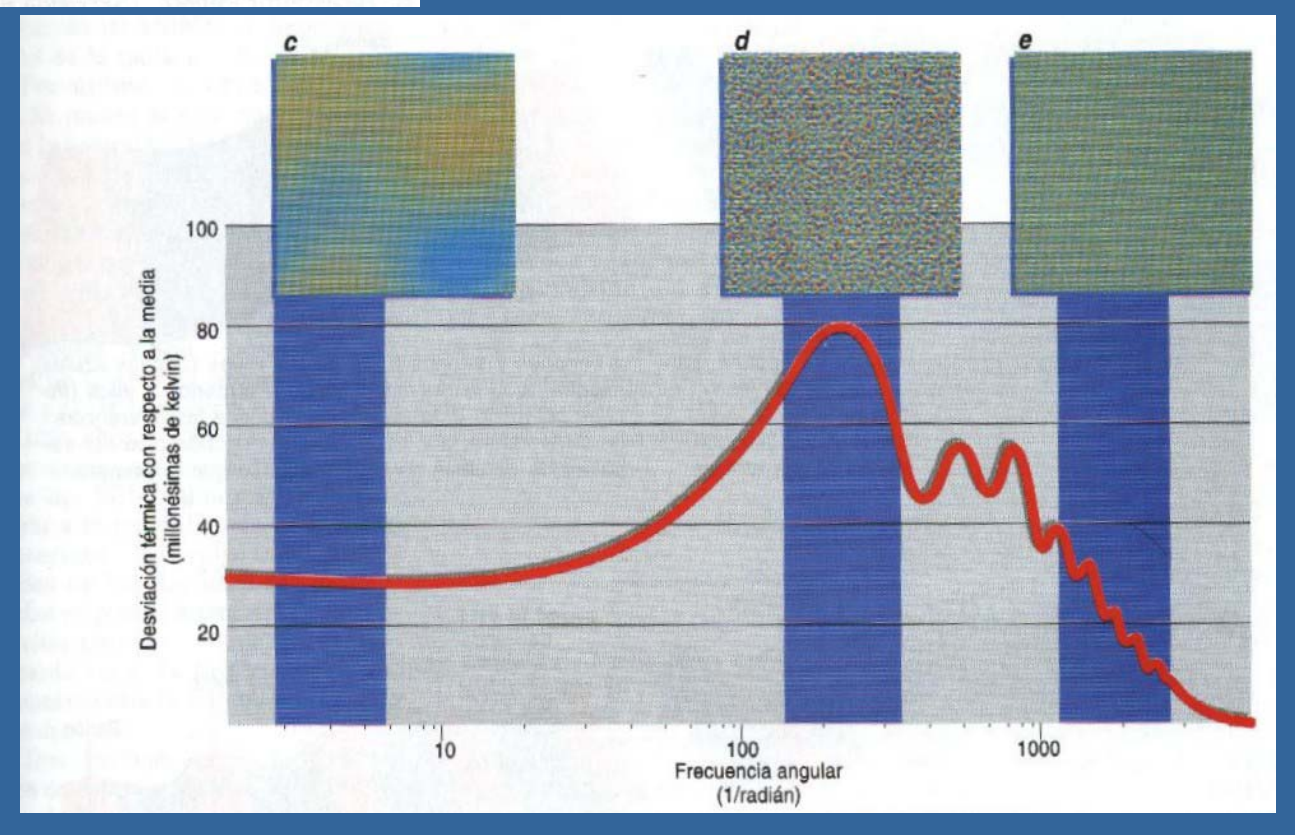
$$\left| \frac{\Delta T}{T} (\vec{n}) \right| = \left( \frac{\Delta T}{T} (\vec{n}) \right)_{d} + \frac{1}{3} \phi_{d} + \int \frac{\partial \phi}{\partial t} dt + \vec{n} \cdot (\vec{v}_{0} - \vec{v}_{d})$$

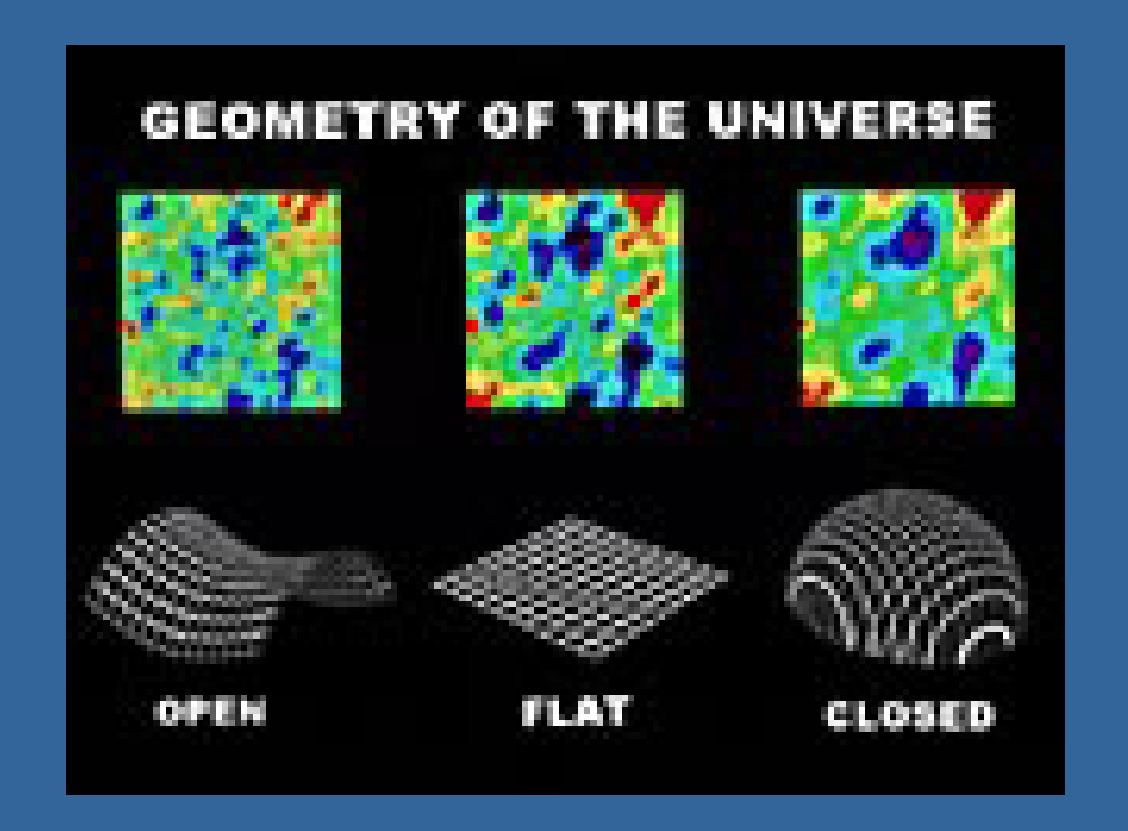


Temperatura = Temperatura desacoplo + Gravedad + Variación de Gravedad + Velocidad



# ESPECTRO DE POTENCIAS





### PARÁMETROS COSMOLÓGICOS

#### - Universo uniforme

- H<sub>0</sub>: razón de expansión
- Ω: parámetro de densidad =

$$\Omega_{\rm R} + \Omega_{\rm B} + \Omega_{\rm DM} + \Omega_{\rm DE}$$

### - Fluctuaciones de la densidad

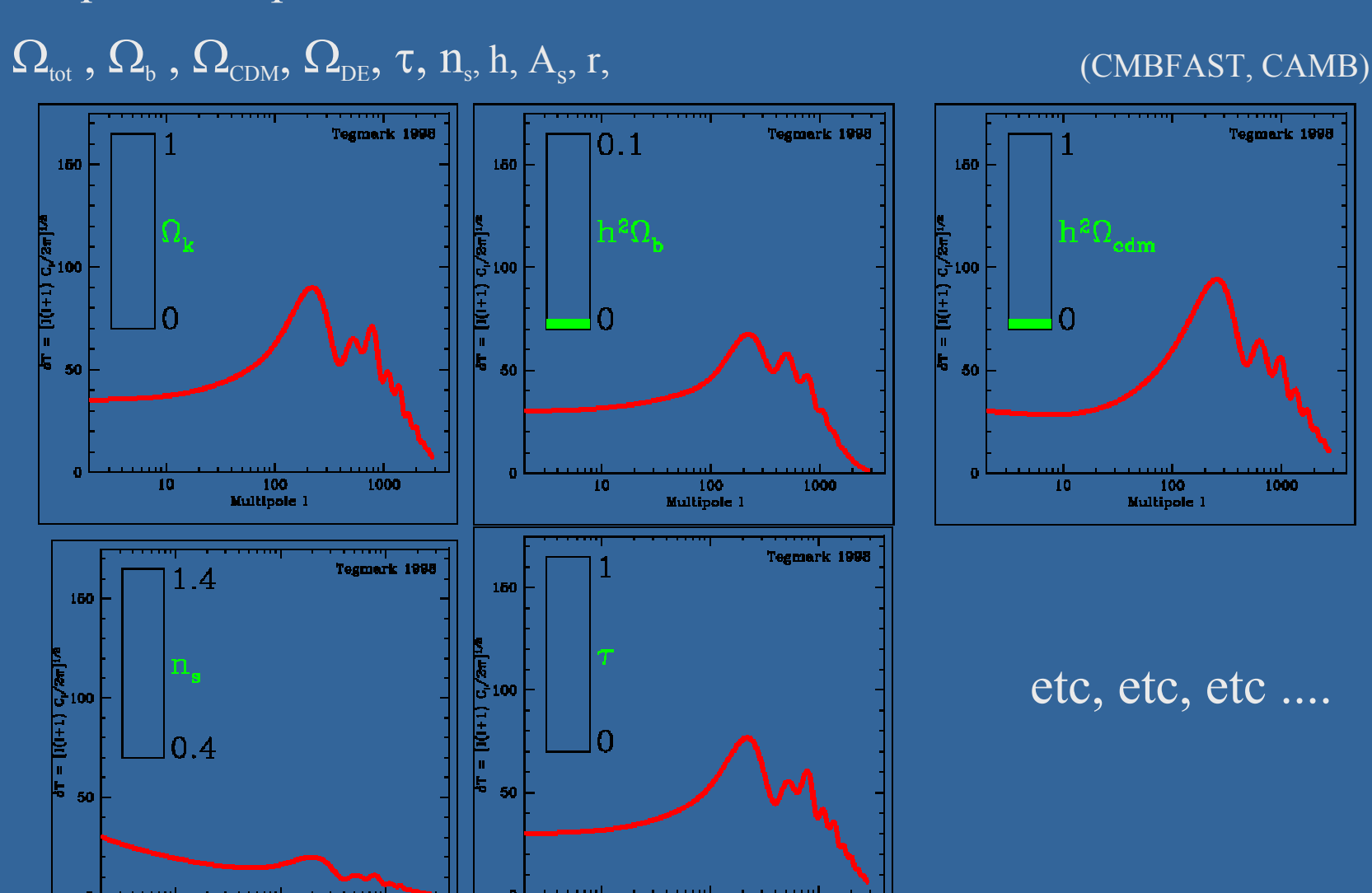
- A: amplitud de las fluctuaciones iniciales en la densidad
- n: índice que caracteriza el tipo de las fluctuaciones

### Medida de los parámetros cosmológicos con el FCM

El espectro de potencias varía con:

100

Multipole 1



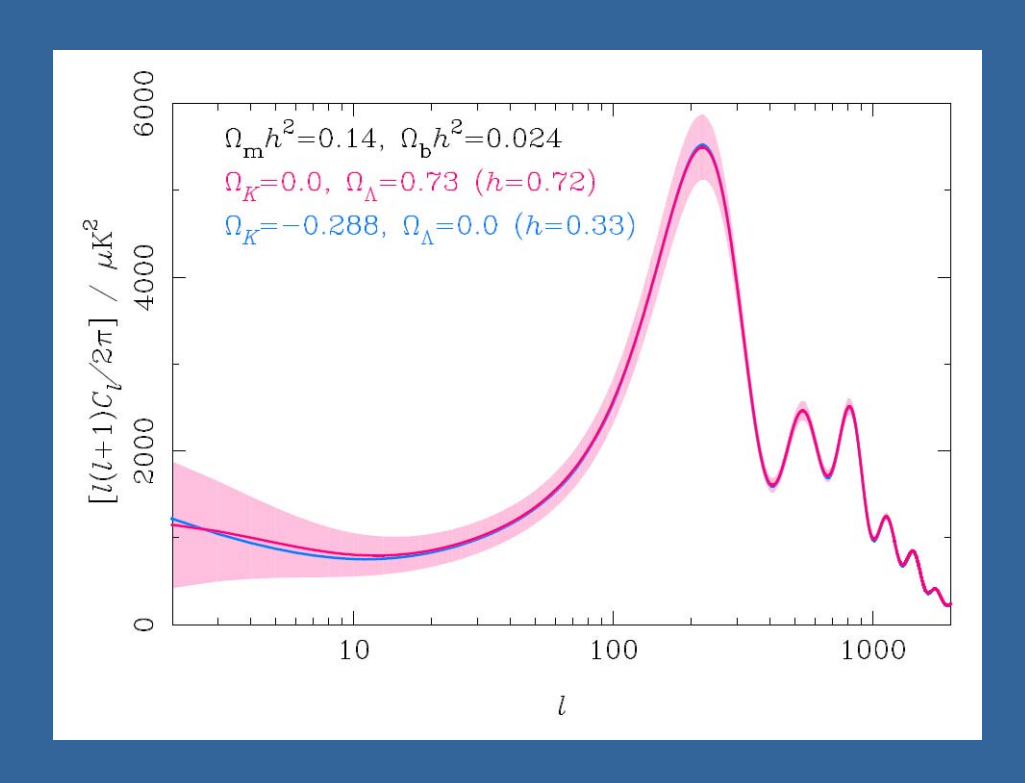
100

Multipole 1

1000

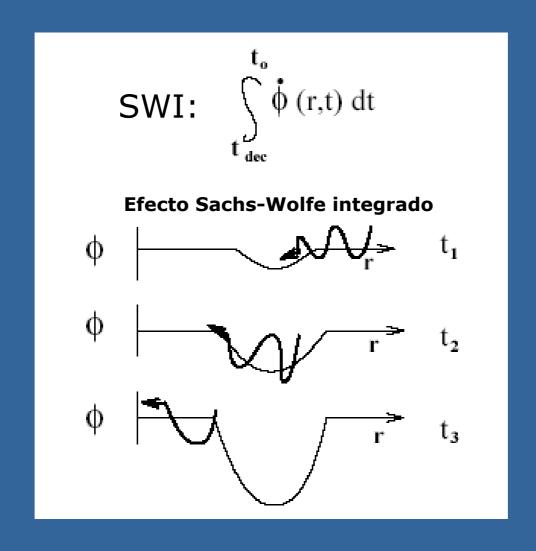
#### **GEOMETRIC DEGENERACY**

- The curvature and dark energy properties affect the CMB mainly through the angular-diameter distance  $D_{\Delta}$  (geometric degeneracy).
- In general, degeneracies in the cosmic parameters can be broken by including LSS data (e.g. Geometric one), SNIa (e.g.  $\Omega$  versus  $\Lambda$ ), polarization (e.g. n versus  $\tau$ ), ...



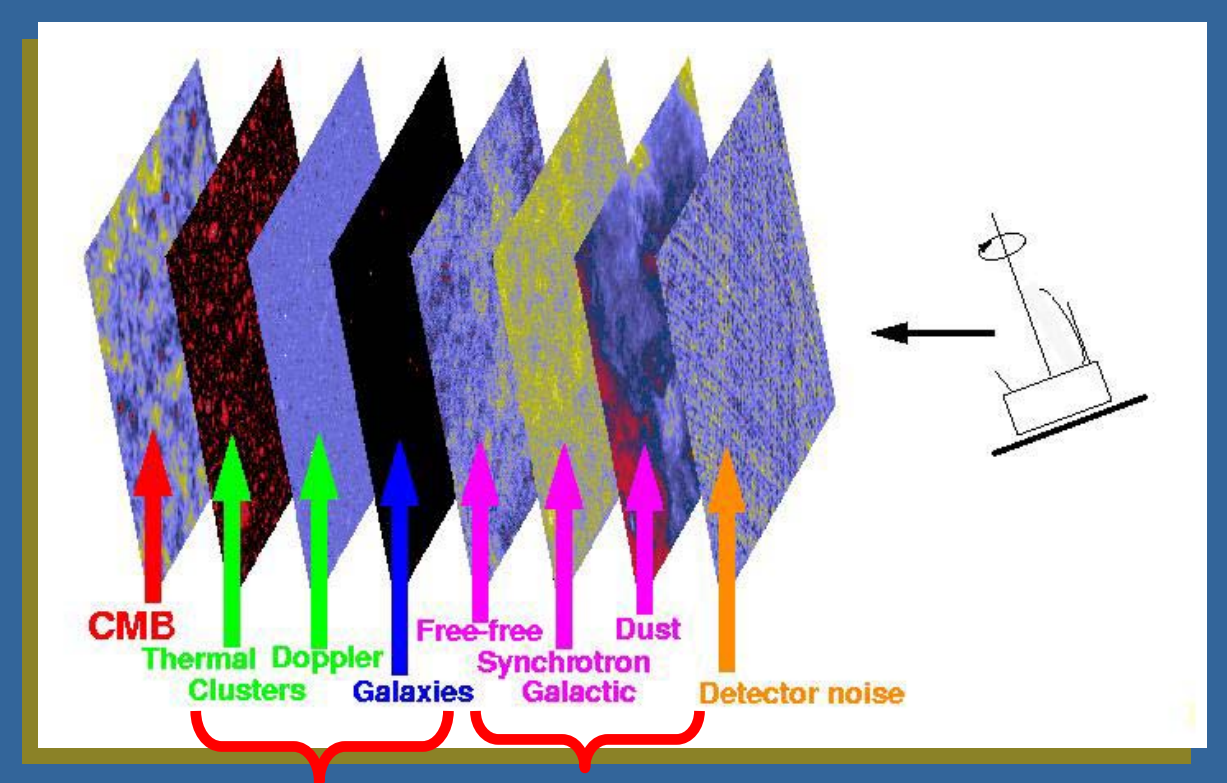
(Challinor 2004)

### Efecto Sachs-Wolfe Integrado



### Componentes

### Emisiones superpuestas a la RFCM

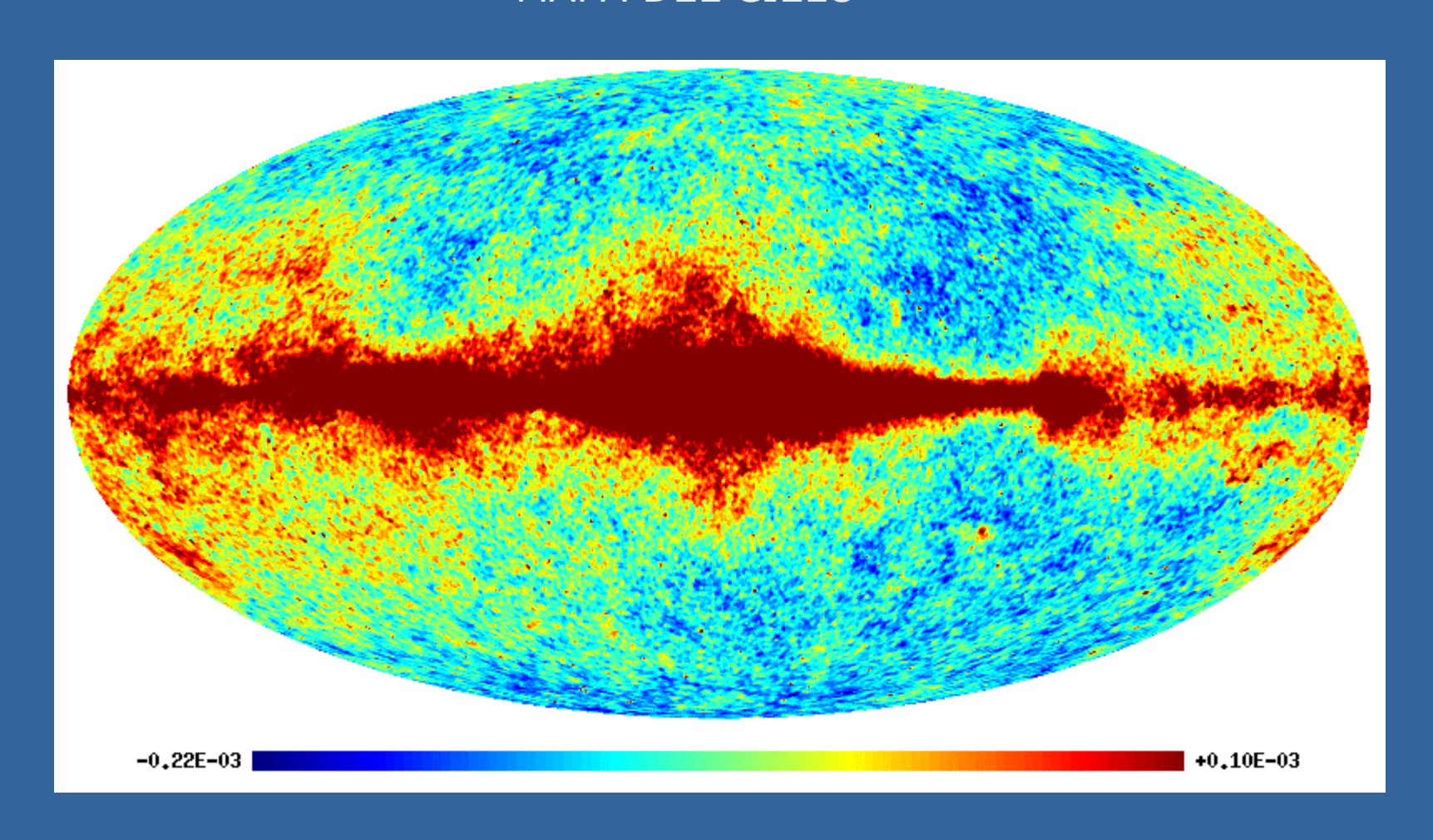


Extragalácticos Galácticos

Es necesario separar los componentes de los mapas de RCFM, en particular las galaxias.

### COMPONENTES

# FONDEU FRANKLIGOURS





# La Ondícula Sombrero Mejicano (Marr)

La transformada de ondícula nos da información acerca de:

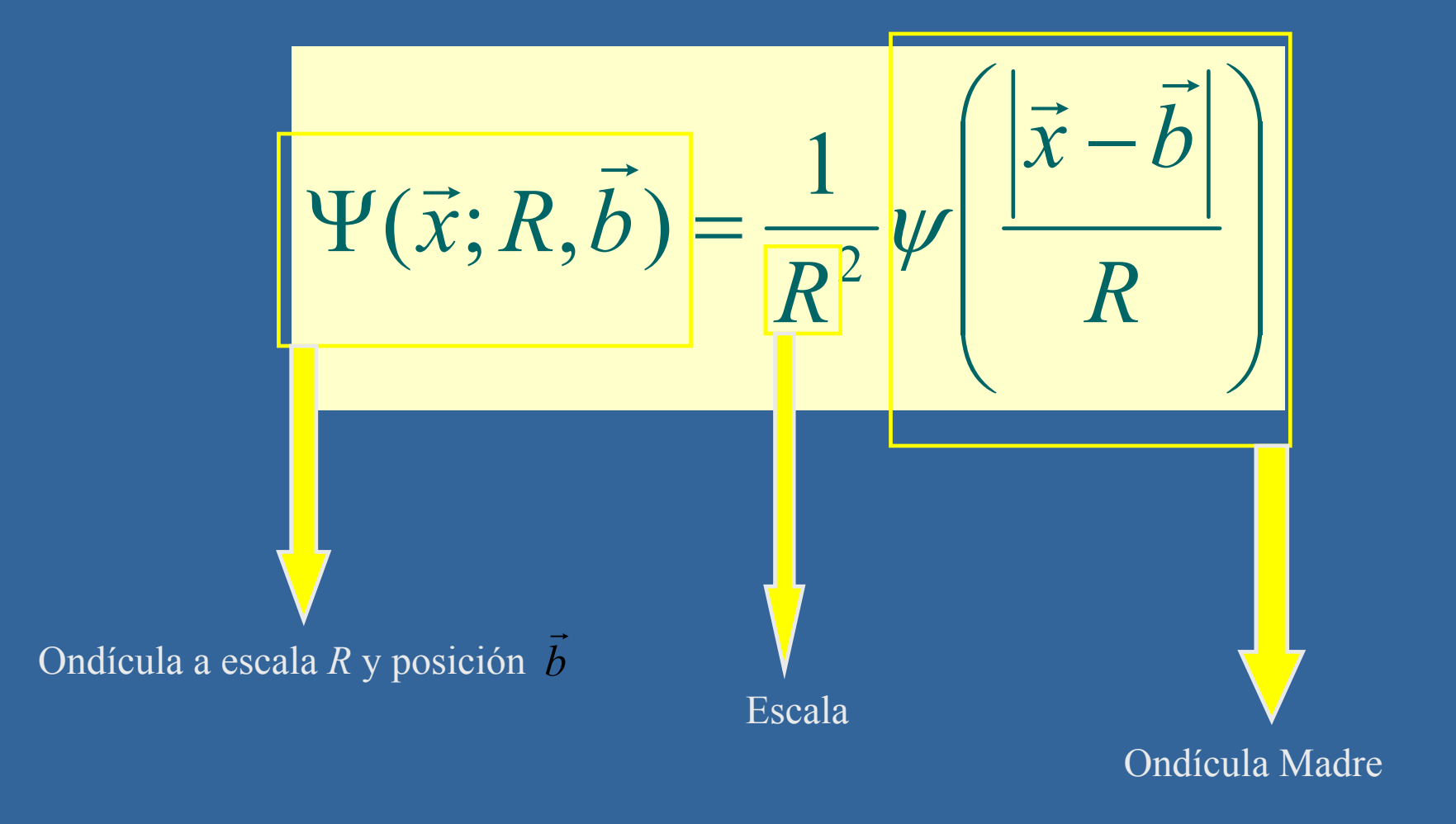
- La escala de las estructuras presentes en la señal
- La posición en el que estas estructuras se localizan

Se puede entender como una generalización de la transfornada de Fourier.

$$w(R,\vec{b}) = \int d\vec{x} s(\vec{x}) \Psi(\vec{x};R,\vec{b})$$

Transformada de ondícula continua e invariante con la rotación de una señal 2D.







La *ondicula madre* satisface:

Filtro efectivo

$$\int d\vec{x} \, \psi = 0,$$
 compensación 
$$\int d\vec{x} \, \psi^2 = 1,$$
 normalización 
$$C_{\psi} = (2\pi)^2 \int dk \, k^{-1} \hat{\psi}^2(k) < \infty,$$
 admisibilidad



La ondícula isótropa más simple es la Ondícula Sombrero Mejicano (OSM). Es el Laplaciano de una función gausiana.

$$\psi(x) \propto -\Delta e^{-(x^2/2R^2)} \equiv \frac{1}{\sqrt{2\pi}} \left[ 2 - \left(\frac{x}{R}\right)^2 \right] e^{-\frac{x^2}{2R^2}}$$

$$\hat{\psi}(k) \propto (kR)^2 e^{-\frac{1}{2}(kR)^2}$$



$$s(\vec{x}) \equiv s(x) = \frac{I}{2\pi\sigma_a^2} e^{-\frac{x^2}{2\sigma_a^2}}$$

Fuente puntual

El coeficiente (o la transformada) de la OSM en la posición del máximo viene dado por:

$$w(R) = 2\sqrt{2\pi}IR \frac{\left(R/\sigma_a\right)^2}{\left(1 + \left(R/\sigma_a\right)^2\right)^2}$$



Las Fuentes Puntuales se amplifican en el espacio de ondículas:

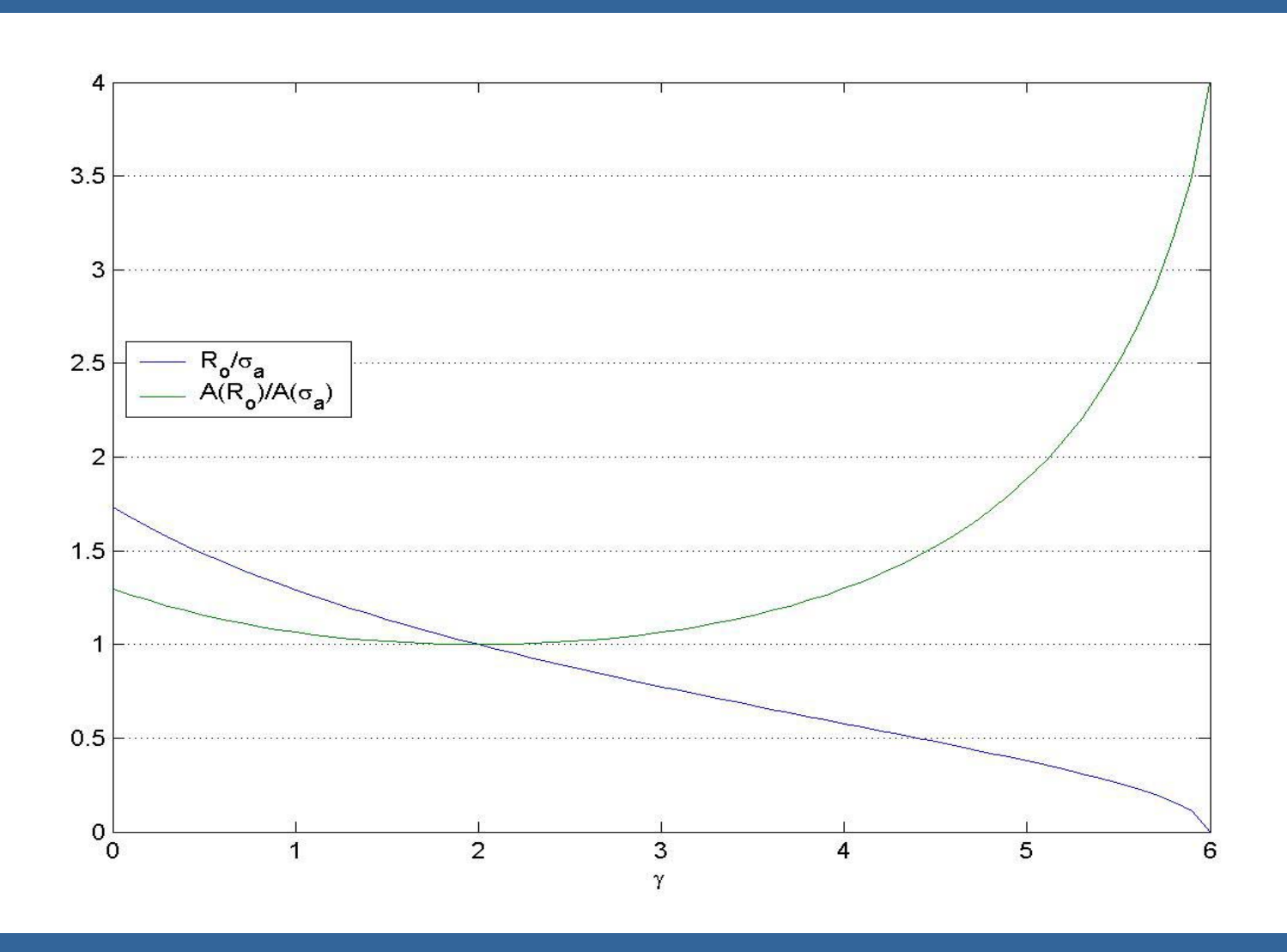
$$A(R) = \frac{w(R)/\sigma_w(R)}{I/\sigma_m}$$
Dispersión del Mapa
$$\sigma_w^2(R) \propto \int dk k P(k) |\widehat{\Psi}(k)|^2$$



Se puede encontrar una *escala óptima* que viene dada por los propios datos

$$R_o = f(P(k), \sigma_a)$$







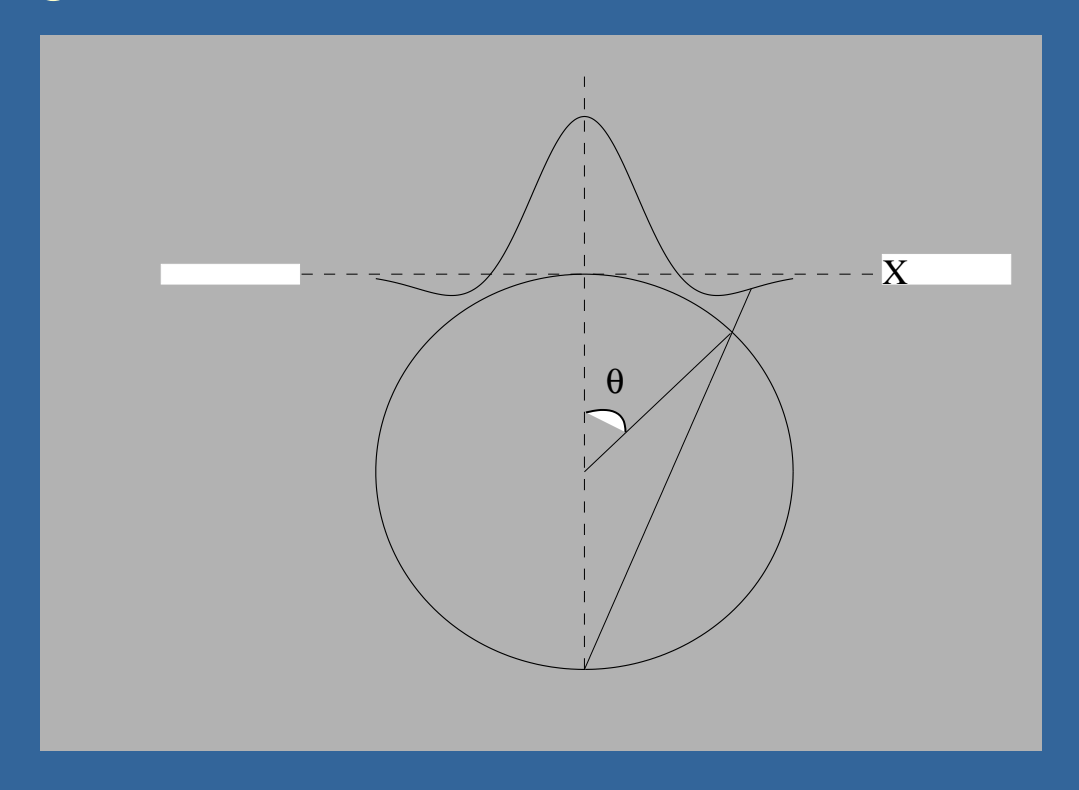
Estimación de la amplitud mediante un ajuste multi-escala (la escala óptima + 3 adyacentes).

$$\chi_l^2 = \sum_{i,j} \left( w(R_i, \vec{b}_l)^t - w(R_i, \vec{b}_l)^e \right) V_{ij}^{-1} \left( w(R_j, \vec{b}_l)^t - w(R_j, \vec{b}_l)^e \right)$$

$$V_{ij} = \frac{1}{N} \sum_{l=1}^{N_{pix}} w(R_i, \vec{b}_l)^e w(R_j, \vec{b}_l)^e$$

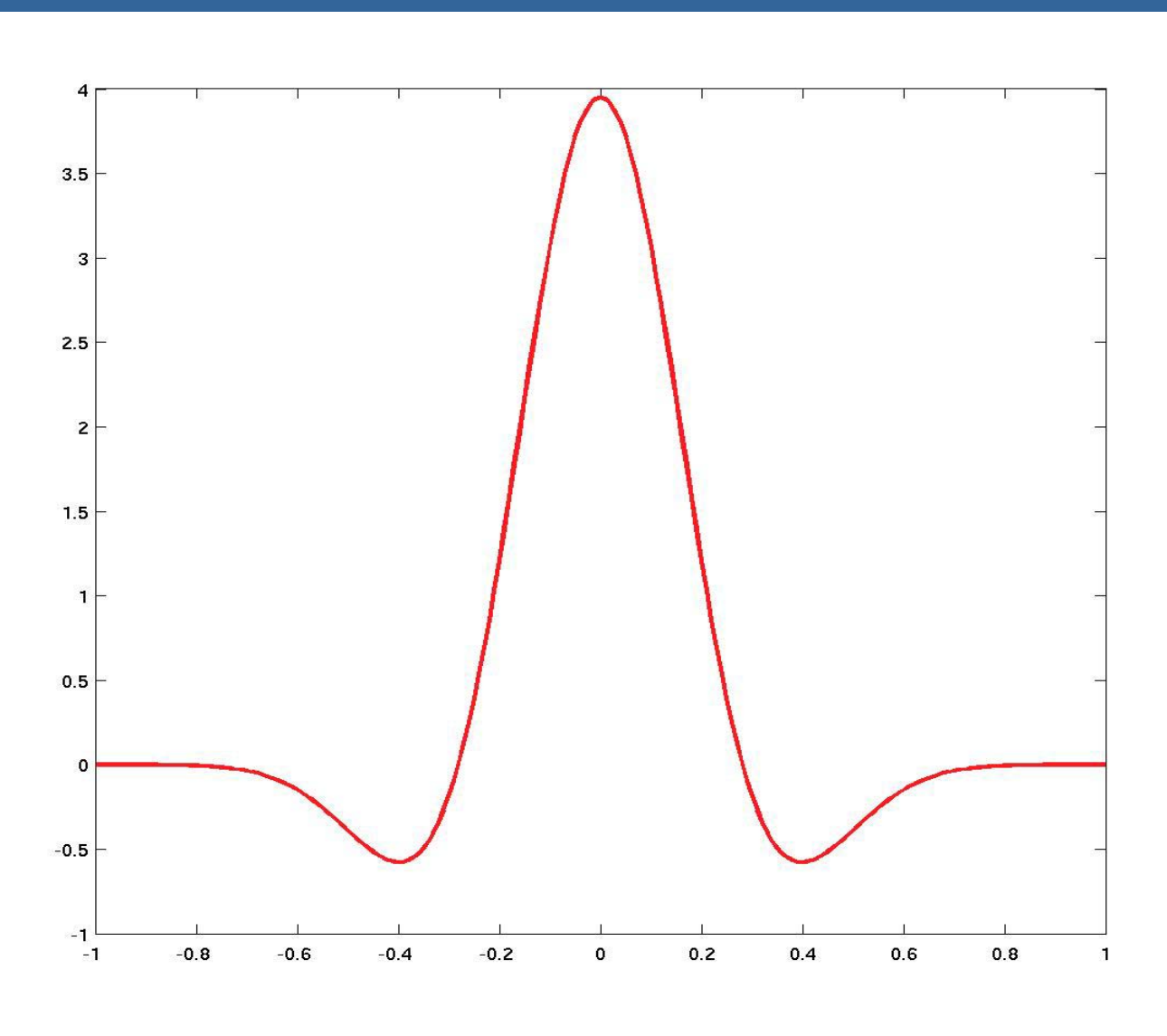


La extensión a la esfera de la OSM euclídea se realiza mediante una proyección estereográfica de la OSM al plano tangencial.

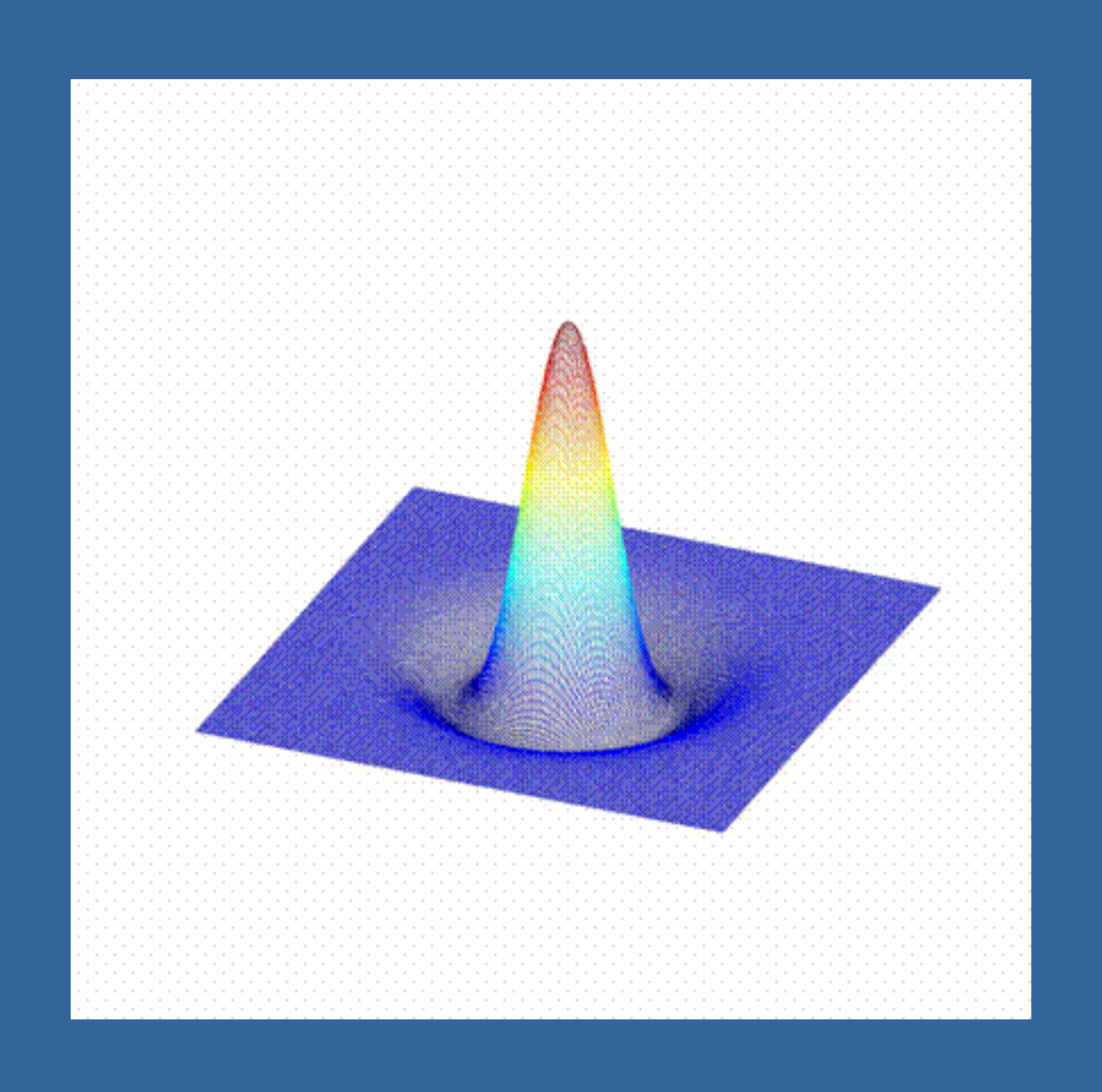




# La Ondícula Sombrero Mejicano Esférica (OSME)



### Ondícula Sombrero Mejicano en 3D

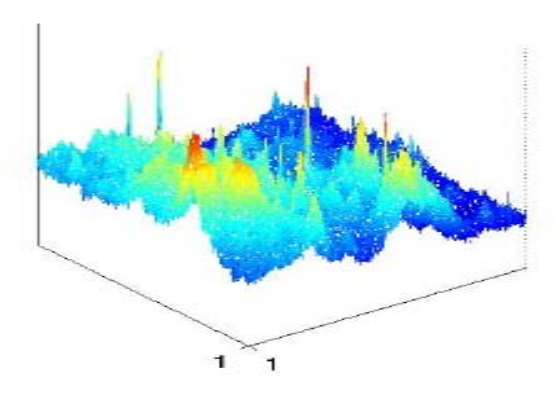




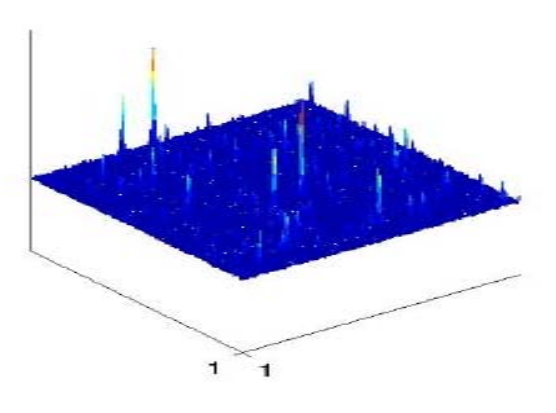
## La OSM: aplicación euclídea

Dust emission

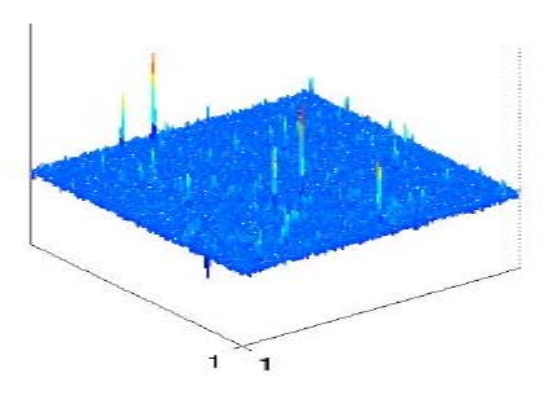
Total emission



Point Sources emission

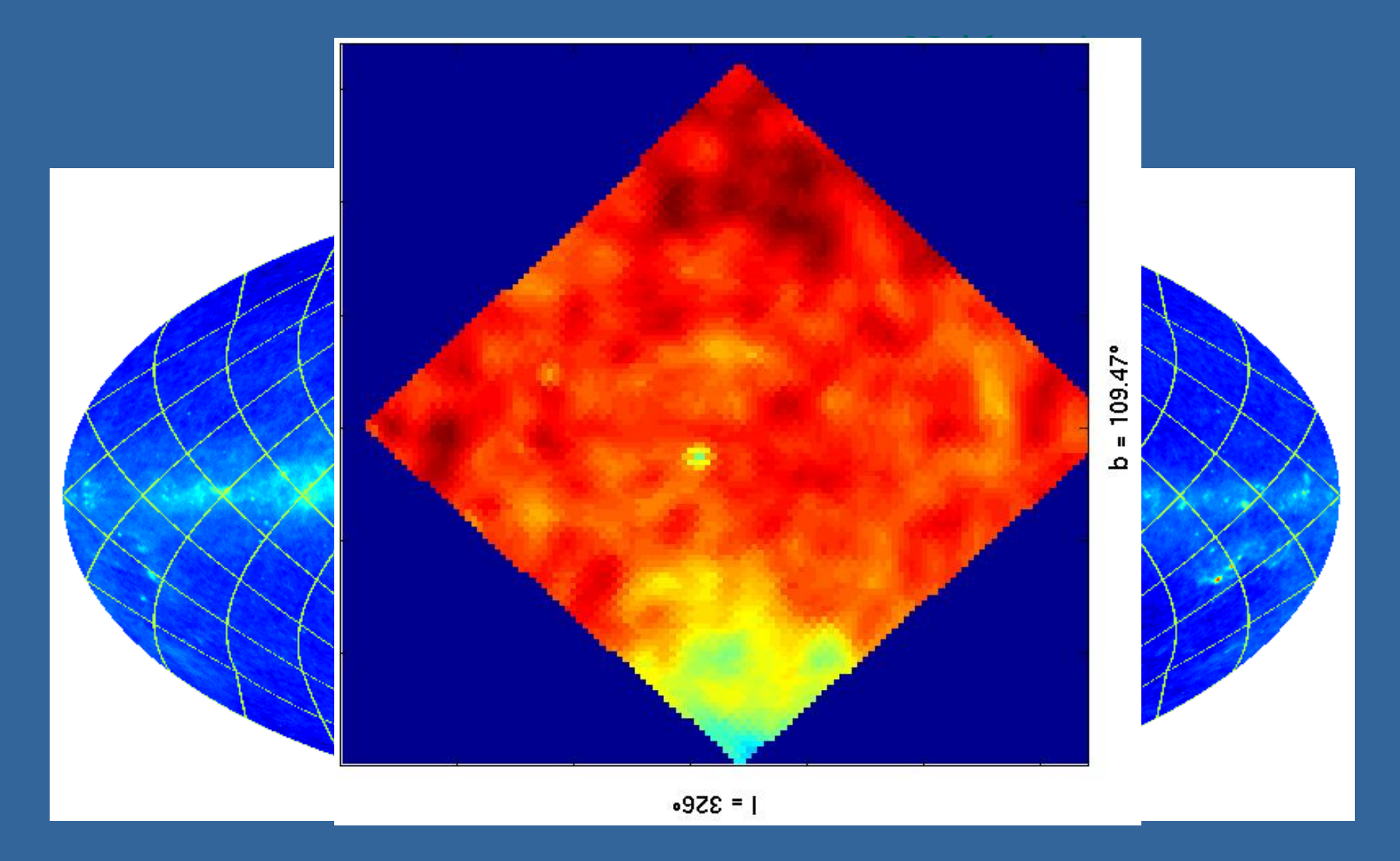


Wavelet Coefficients Map



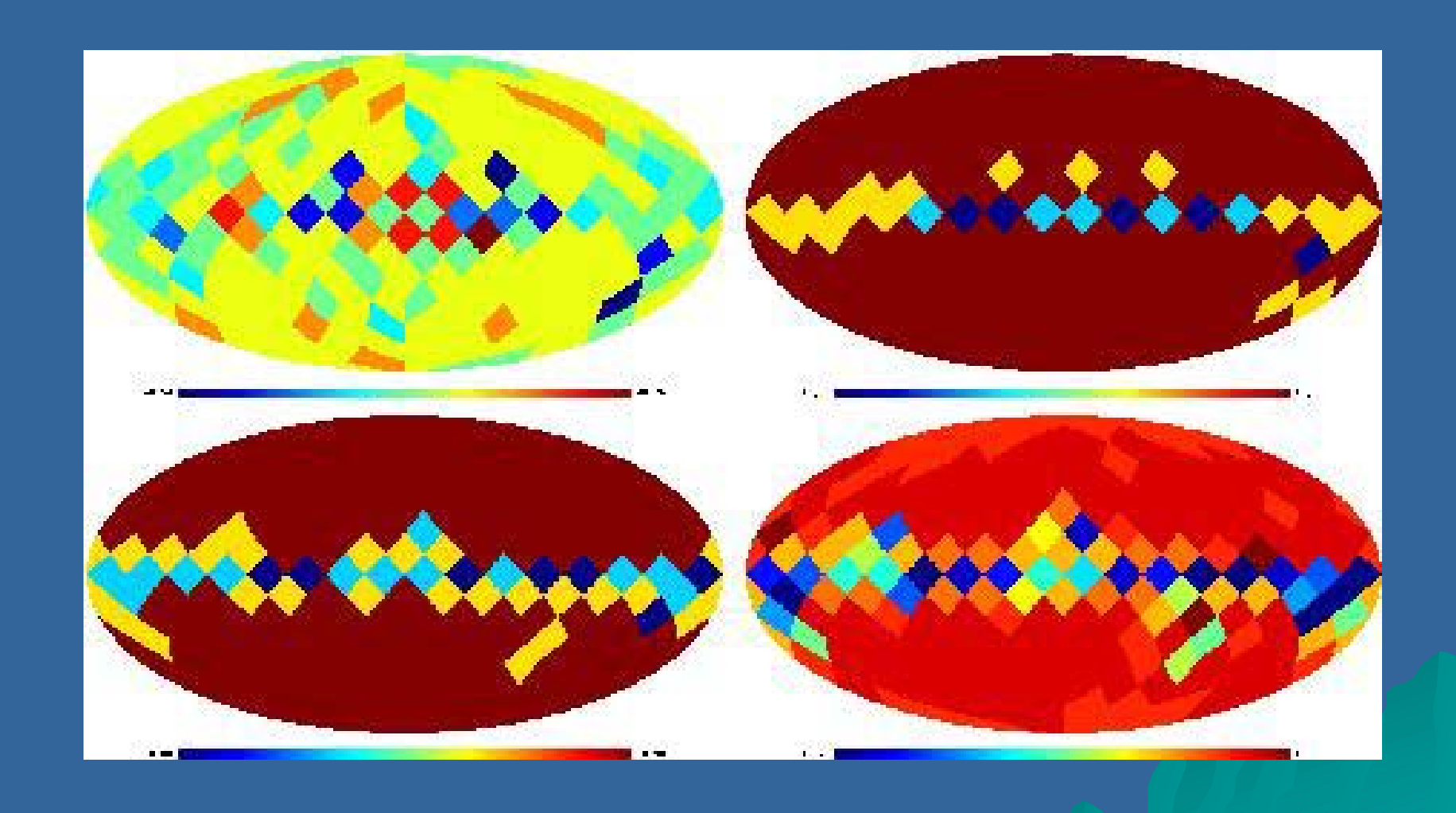


## The MHW: Spherical application





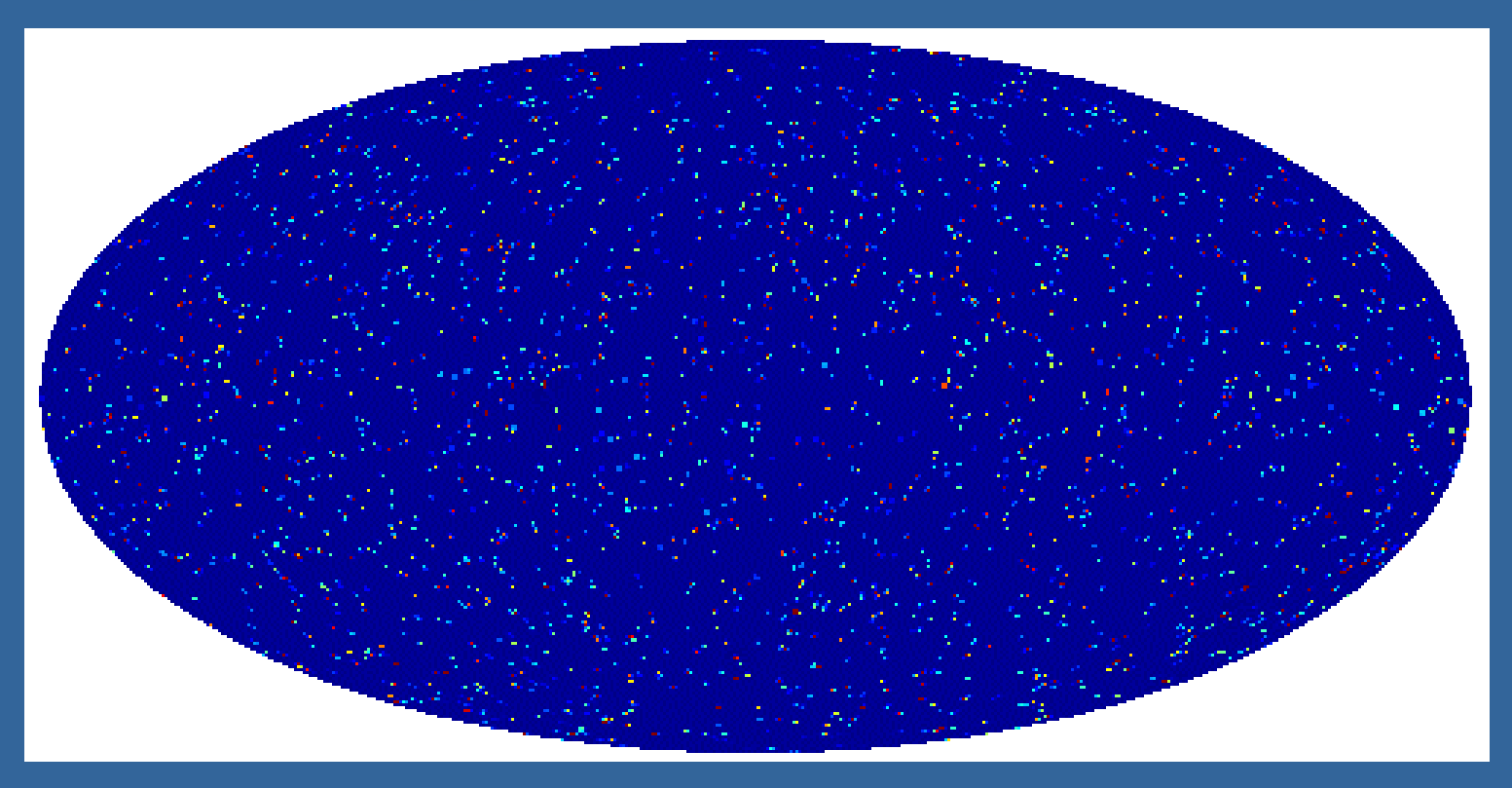
## The MHW: Spherical application





# La OSME: aplicación esférica

### Fuentes puntuales detectadas a 30 GHz



## CATÁLOGO DE FUENTES - MISIÓN PLANCK

Frec.	#	Jу	Error (%)	Sesgo (%)	Corte (°)	N <sub>op</sub>	Comp(%)
857	27257	0.48	17.7	-4.4	25	17	70
545	5201	0.49	18.7	4.0	15	15	75
353	4195	0.18	17.7	1.4	10	10	70
217	2935	0.12	17.0	-2.5	7.5	4	80
143	3444	0.13	17.5	-4.3	2.5	2	90
100	3342	0.16	16.3	-7.0	0	4	85
70	2172	0.24	17.1	-6.7	0	6	80
44	1987	0.25	16.4	-6.4	0	9	85
30	2907	0.21	18.7	1.2	0	7	85

## Wilkinson Microwave Anisotropy Probe

A partnership between NASA/GSFC and Princeton

#### **Science Team:**

#### NASA/GSFC

Chuck Bennett (PI)

Michael Greason Bob Hill

Gary Hinshaw

Al Kogut

Michele Limon

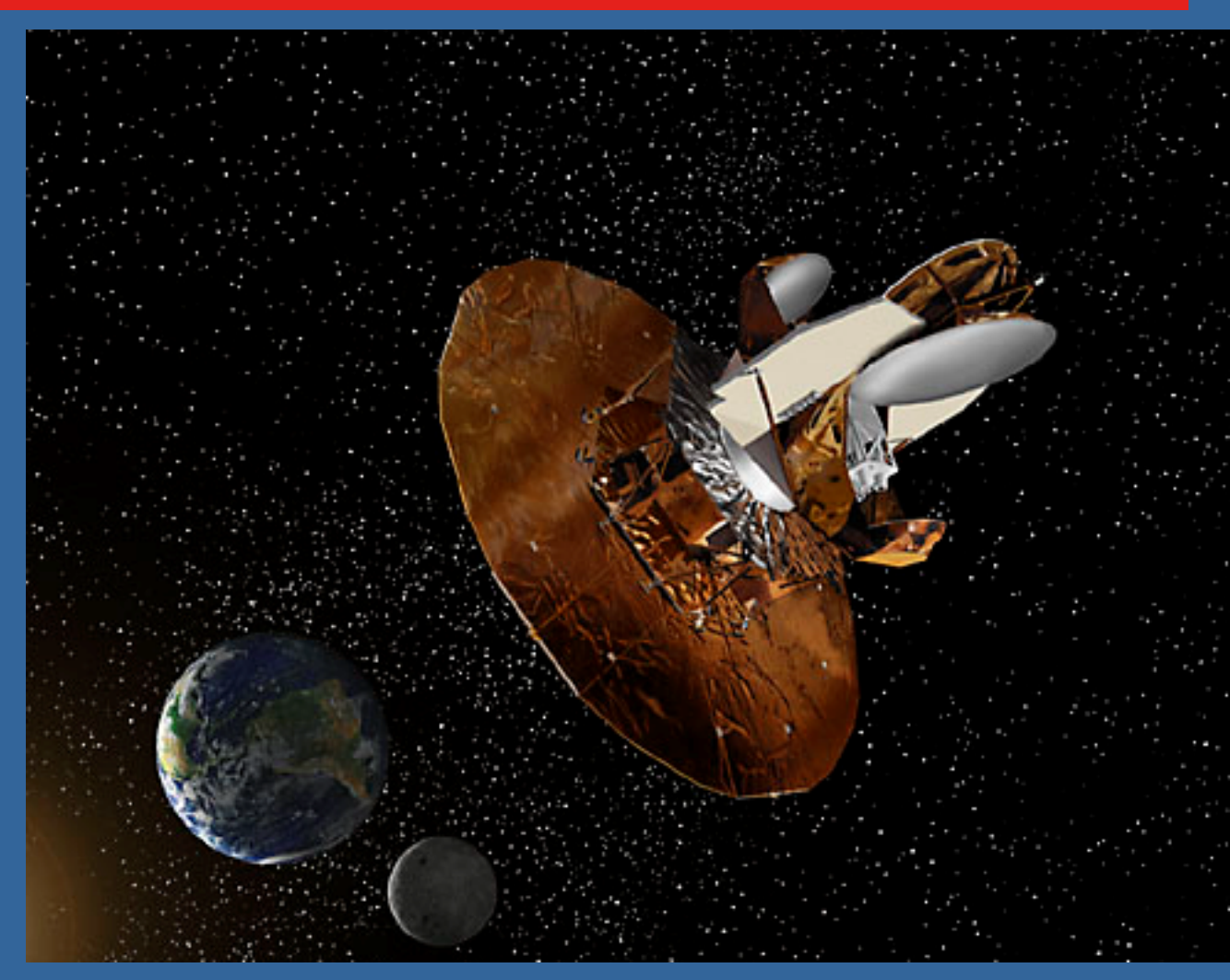
Nils Odegard
Janet Weiland

Brown

UCLA

Ned Wrigh

UBC Mark Halpen Chicago



#### Princeton

Chris Barnes
Norm Jarosik
Eiichiro Komatsu
Michael Nolta

Lyman Page Hiranya Peiris David Spergel Licia Verde

#### **WMAP**

#### **Wilkinson Microwave Anisotropy Probe**

#### Lanzado el 30 de Junio de 2001

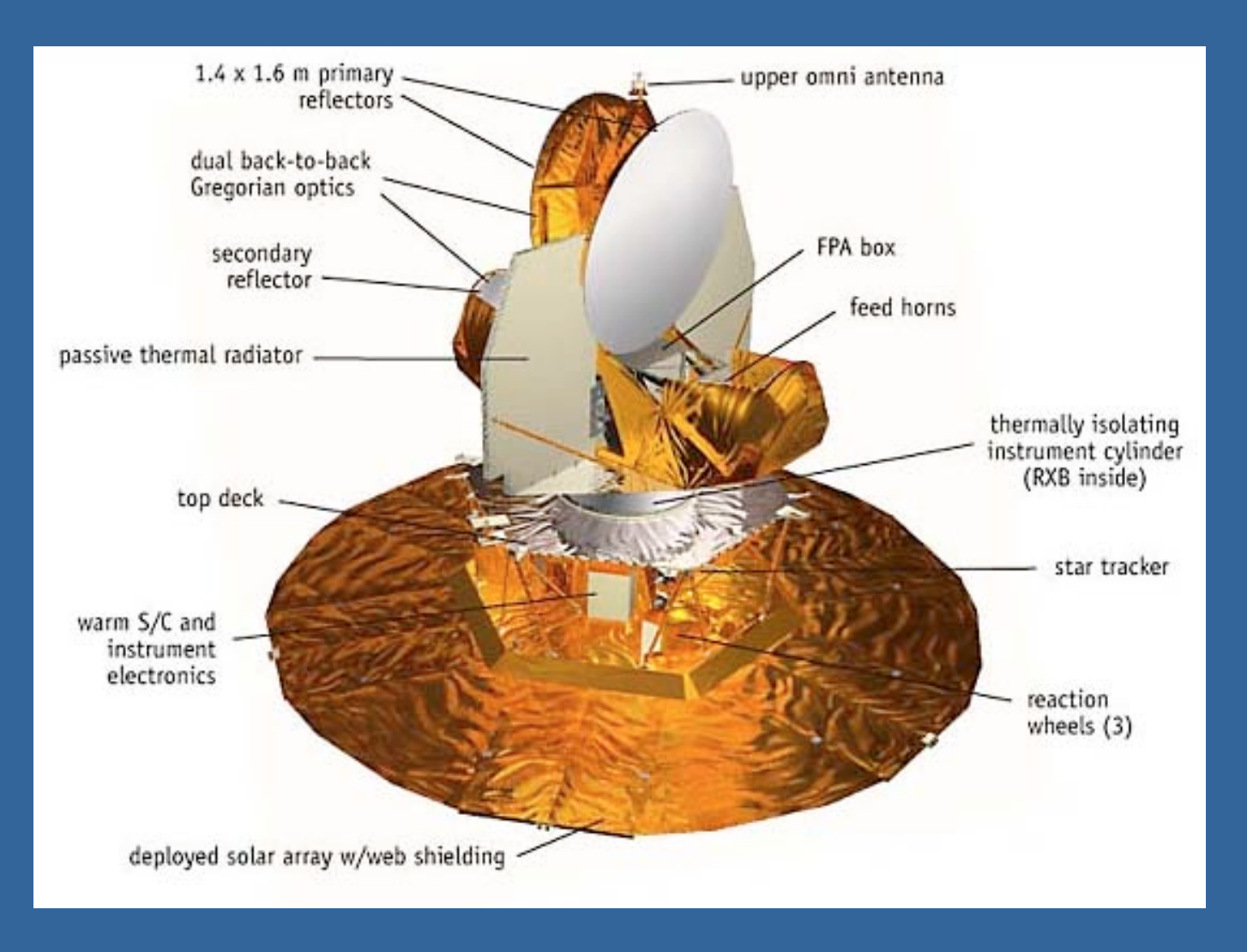


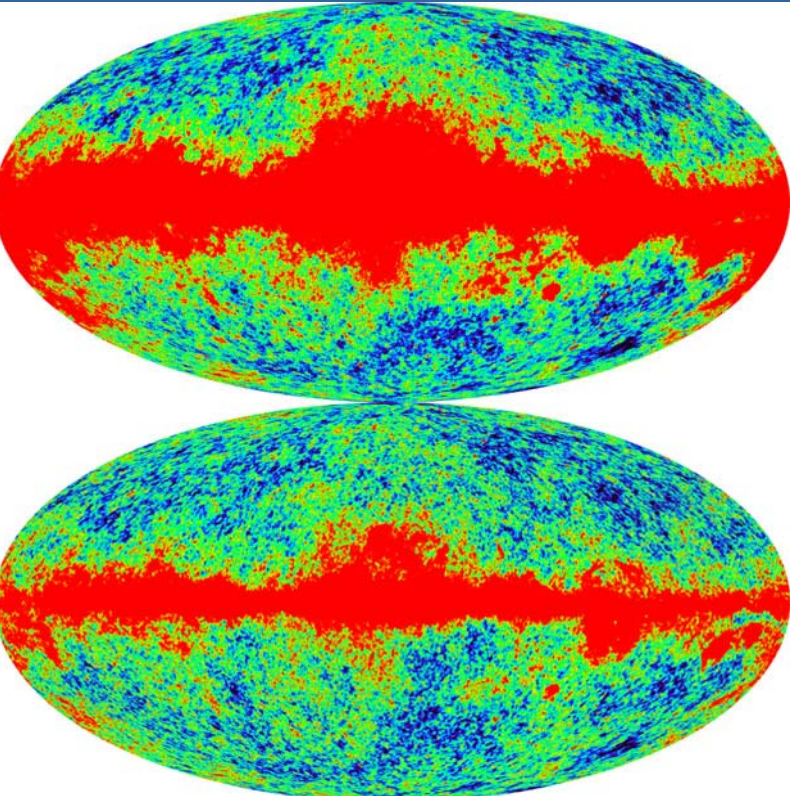
Table 1. Approximate Observational Properties by Band

Item	K-Band	Ka-Band	Q-Band	V-Band	W-Band
Wavelength, $\lambda$ (mm)	13	9.1	7.3	4.9	3.2
Frequency, $\nu$ (GHz)	22.8	33.0	40.7	60.8	93.5
Ant./therm. conversion factor, $\Delta T/\Delta T_A$	1.014	1.029	1.044	1.100	1.251
Noise, $\sigma_0$ (mK) $\sigma = \sigma_0 N_{obs}^{-1/2}$	1.424	1.449	2.211	3.112	6.498
Beam width $\theta$ (°FWHM)	0.82	0.62	0.49	0.33	0.21
No. of Differencing Assemblies	1	1	2	2	4
No. of Radiometers	2	2	4	4	8
No. of Channels	4	4	8	8	16

#### WMAP (mapas del 1er año)

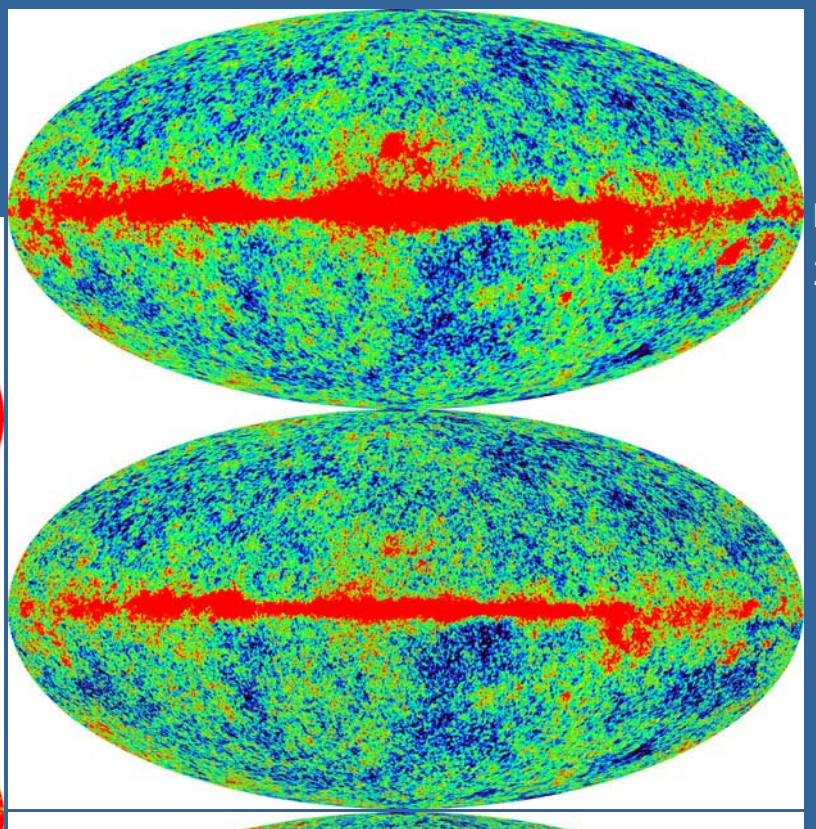
Monitores de la Emisión Galáctica

Banda-K (23 GHz)



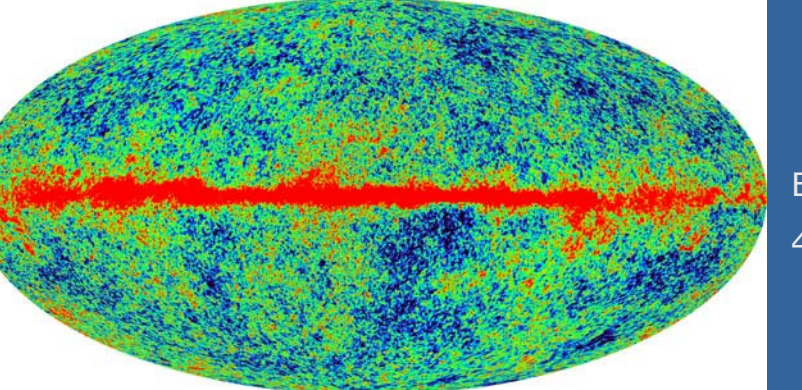
Banda-Ka (33 GHz)

CMB bands



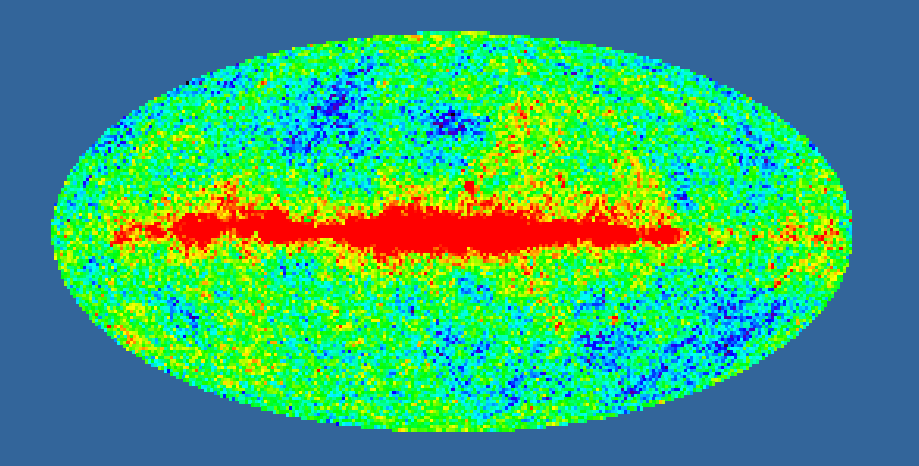
Banda-Q (41 GHz) 2 canales

Banda-V (61 GHz) 2 canales

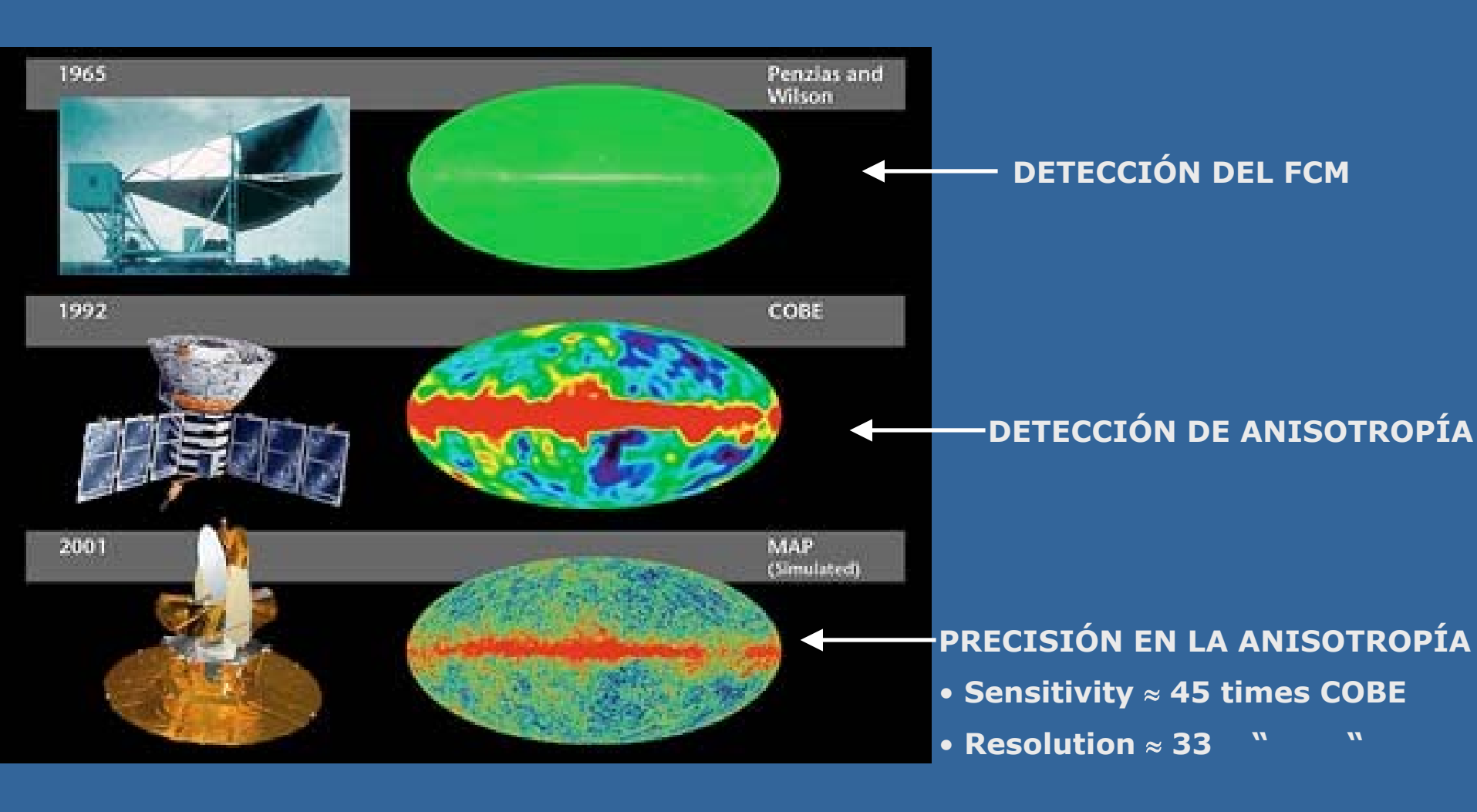


Banda-W (93 GHz) 4 canales

## Mapa final de WMAP



### Evolución en las medidas de anisotropía



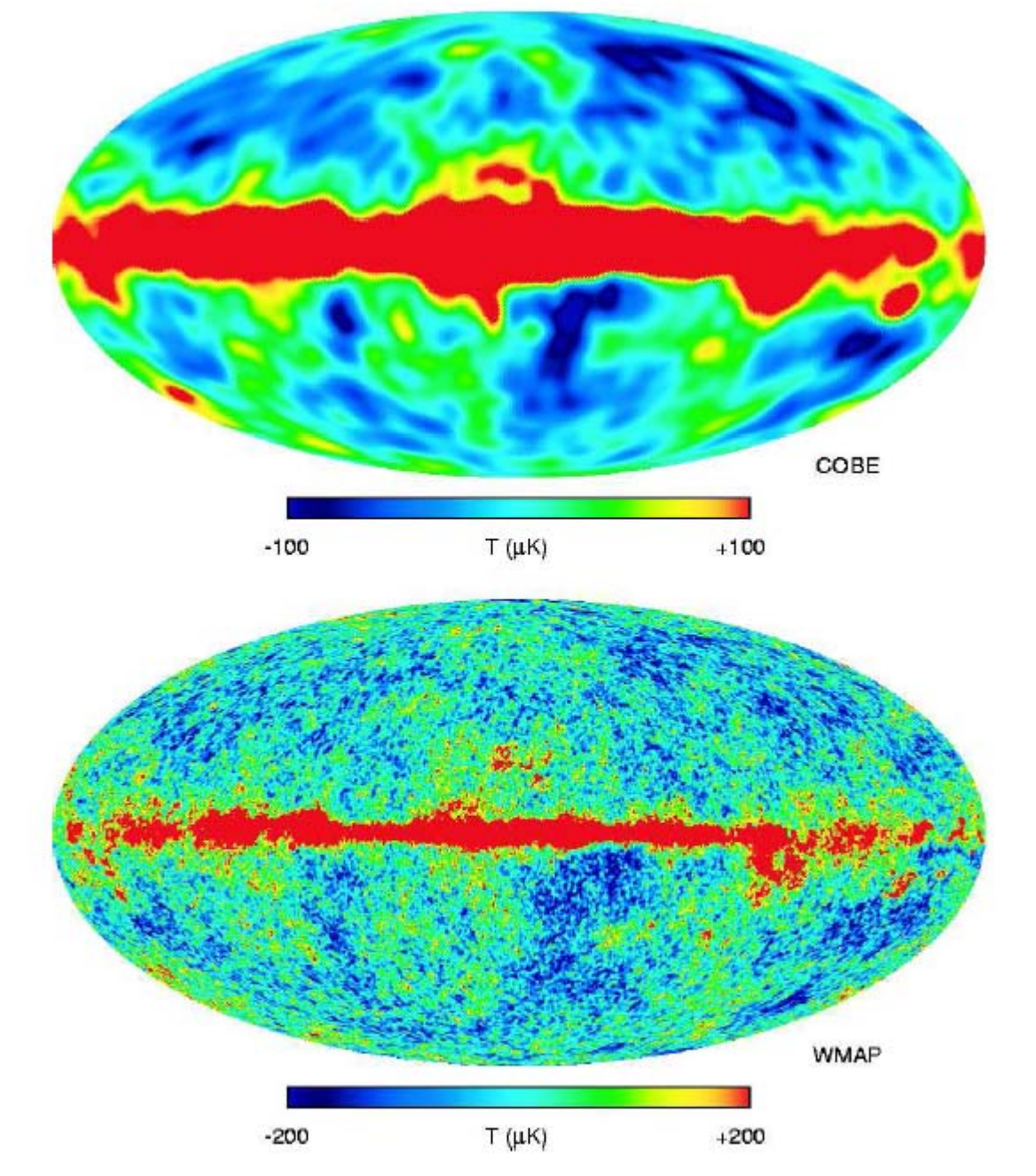
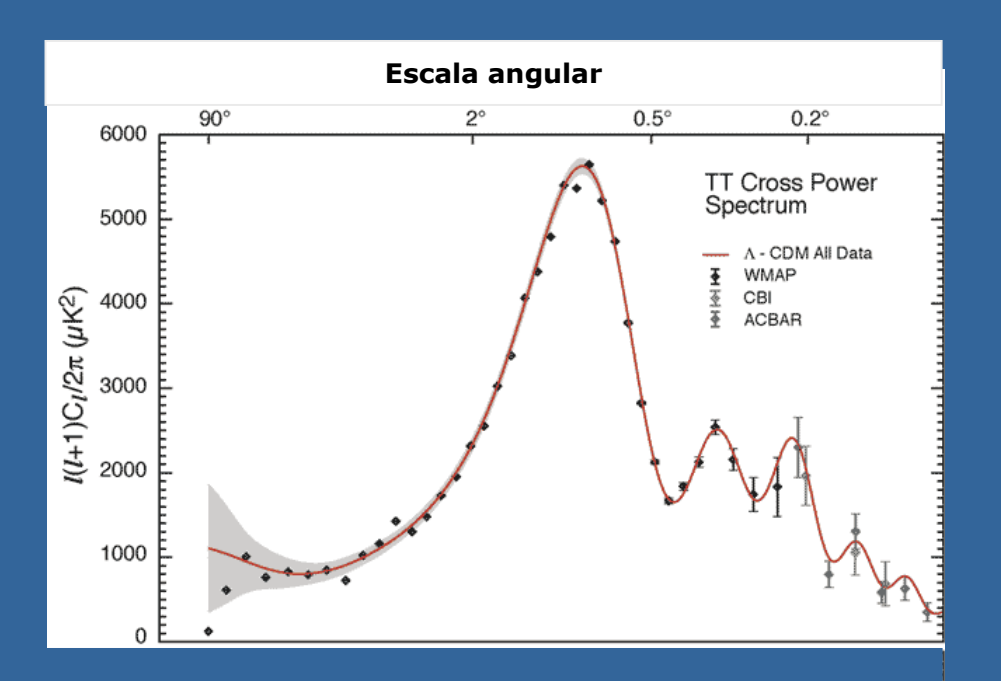
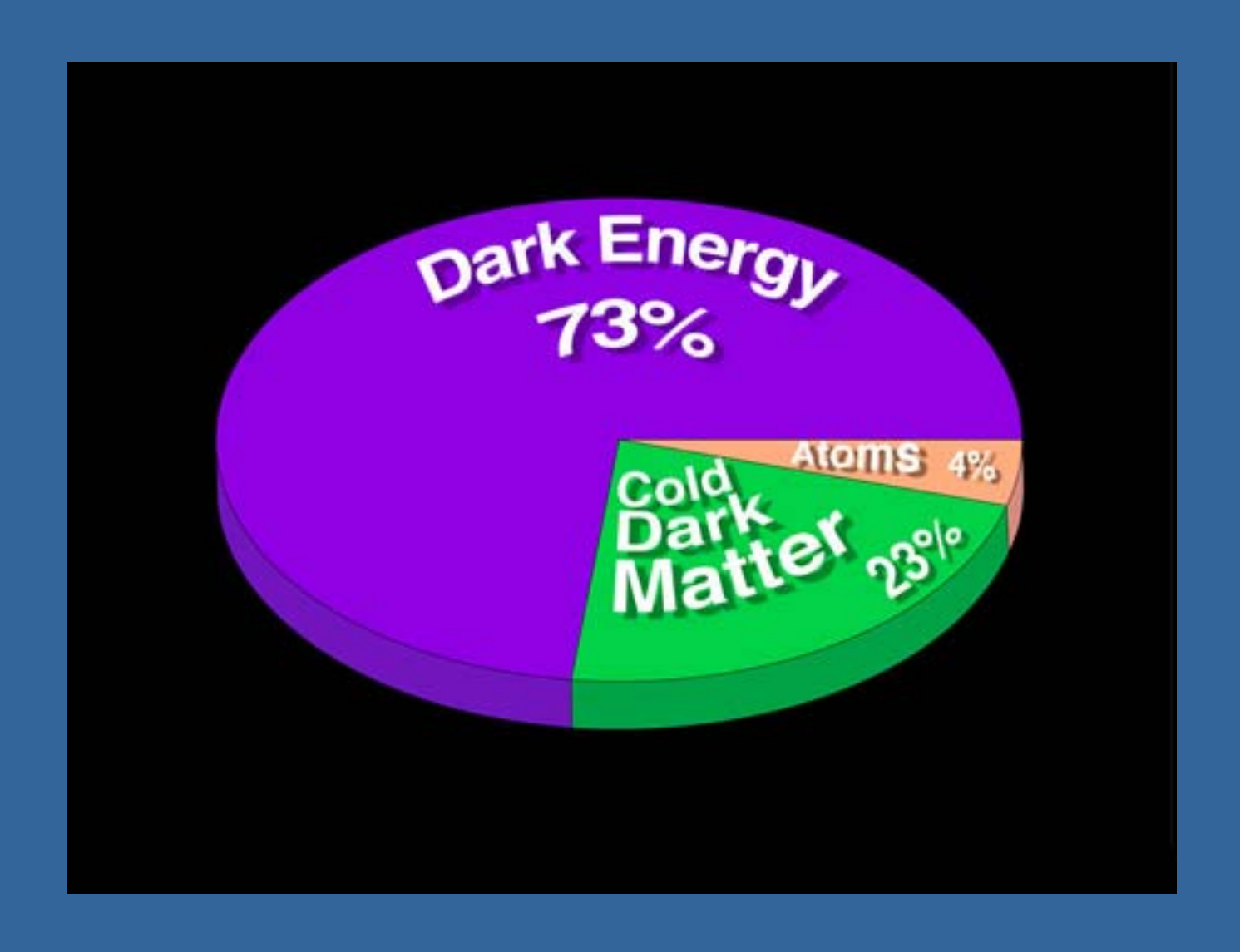


Fig. 7.— A comparison of the COBE 53 GHz map (Bennett et al. 1996) with the W-band WMAP map. The WMAP map has 30 times finer resolution than the COBE map.

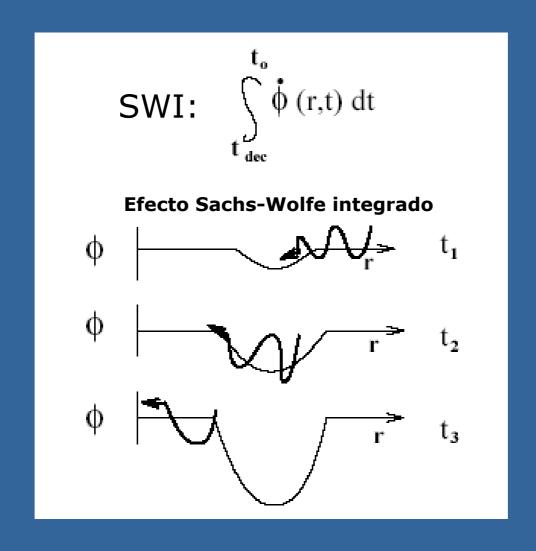
## WMAP $C_1$ (TT, TE)



## DISTRIBUCIÓN DE ENERGÍA

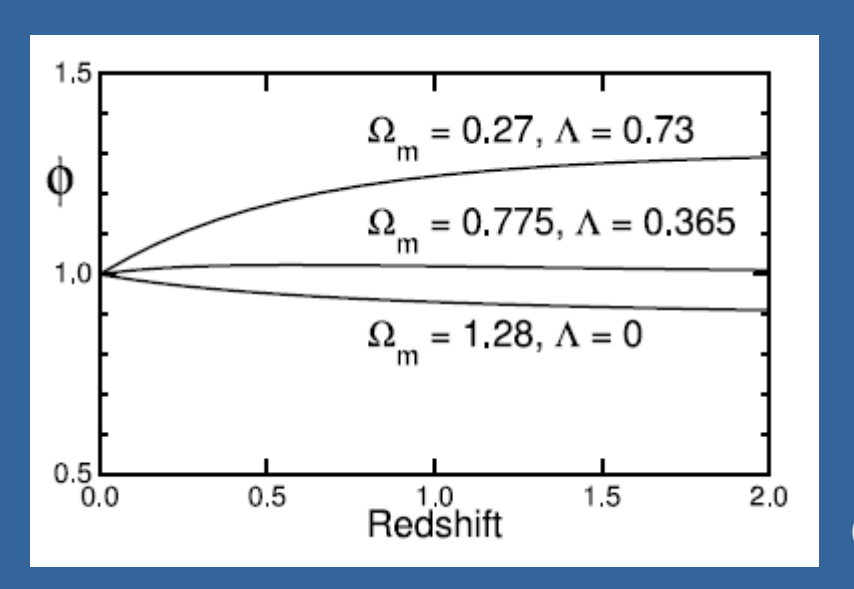


### Efecto Sachs-Wolfe Integrado



#### **EL EFECTO SACHS-WOLFE INTEGRADO**

- El efecto Sachs-Wolfe Integrado (SWI) (Sachs-Wolfe 1967) es debido al redshift gravitatorio que sufren los fotones del FCM cuando cruzan los potenciales gravitatorios que varían con el tiempo debidos a la Estructura a Gran Escala.
- En el modelo Einstein-de Sitter el efecto SWI es cero. Por tanto la detección del efecto implica la existencia de bien energía oscura en el caso de un universo plano o bien la existencia de curvatura espacial.



(Nolta et al. 2004)

#### **DETECCIONES RECIENTES DEL EFECTO SWI**

- El potencial gravitatorio influencia tanto las anisotropías del FCM (efecto SWI) como la distribución de la estructura a gran escala, implicando una cross-correlación no nula entre el FCM y la estructura a gran escala.
- Varios grupos han anunciado detecciones del efecto SWI con diferentes niveles de significación mediante la cross-correlación de WMAP con diferentes catálogos de la estructura a gran escala:
  - Boughn & Crittenden (2004): HEAO-1, NVSS (detección 2-3σ)
  - Nolta et al. (2004): NVSS, detección  $3\sigma$ ,  $\Omega_{\lambda} > 0$  (95%)
  - Fosalba and Gaztañaga (2004): APM, detección 98.8%
  - Fosalba, Gaztañaga & Castander (2004): SDSS, detección  $3\sigma$ , 0.69<  $\Omega_{\Lambda}$  < 0.86 ( $2\sigma$ )
  - Afshordi et al. (2004): 2MASS, detección 2.5σ
  - Vielva, M-G, Tucci (2004): NVSS usando SMHW, detección >3.7σ

$$Cov^{theo}_{W-N}(R) = \sum_{\ell} \frac{2\ell+1}{4\pi} C_{\ell_M}(R) \qquad C_{\ell_M}(R) = (p_{\ell})^2 (s_{\ell}(R))^2 b_{W\ell} b_{N\ell} C_{\ell_{W-N}}$$

$$C_{\ell_M}(R) = (p_{\ell})^2 (s_{\ell}(R))^2 b_{W\ell} b_{N\ell} C_{\ell_{W-N}}$$

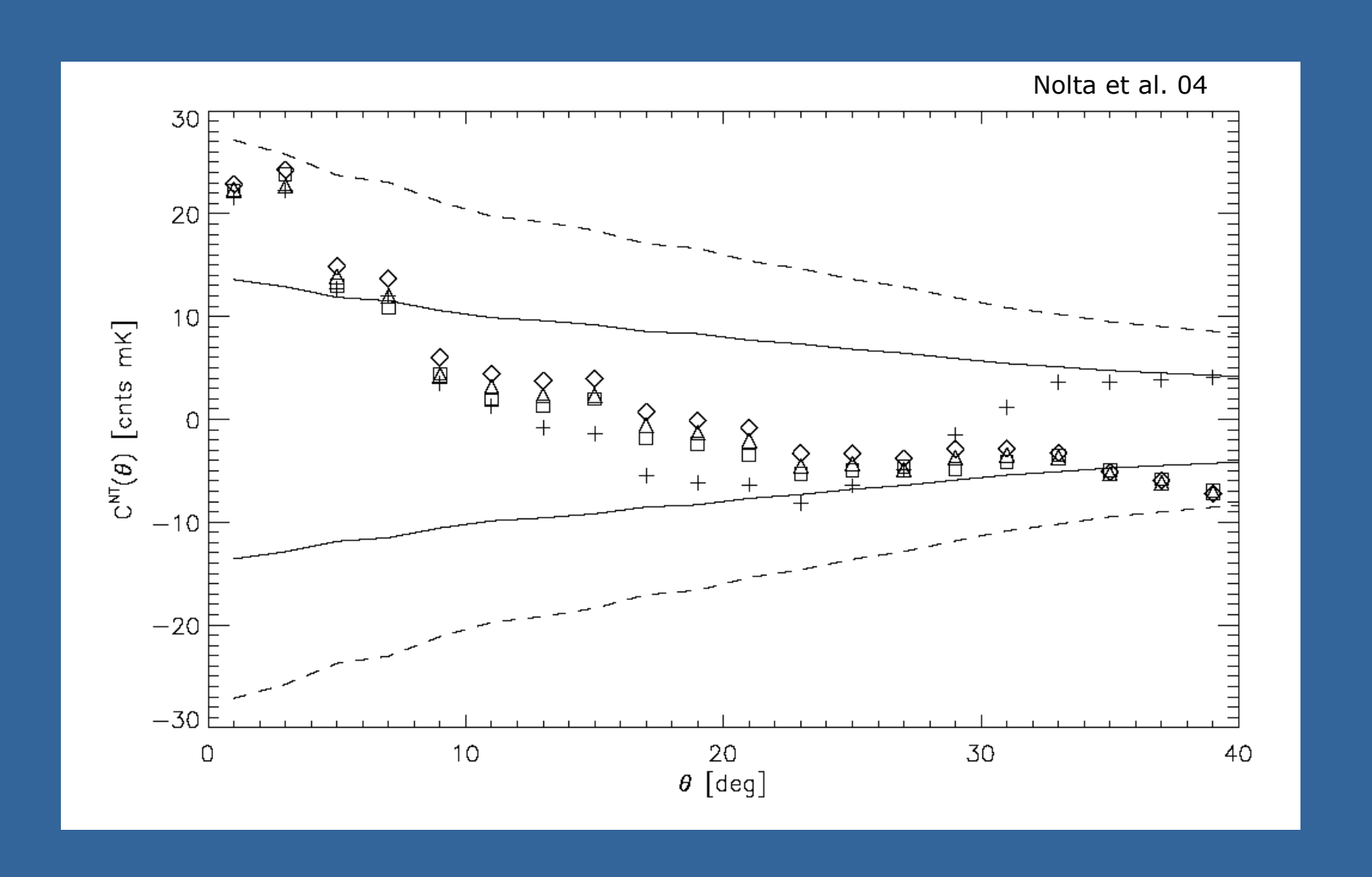
$$C_{\ell_{W-N}} = 12\pi\Omega_m H_o^2 \int \frac{dk}{k^3} \Delta_\delta^2(k) F_\ell^W(k) F_\ell^N(k), \qquad F_\ell^W(k) = \int dz \frac{dg}{dz} j_\ell(k\eta(z)) F_\ell^N(k) = b \int dz \frac{dN}{dz} D(z) j_\ell(k\eta(z))$$

$$F_{\ell}^{W}(k) = \int dz \frac{dg}{dz} j_{\ell}(k\eta(z))$$

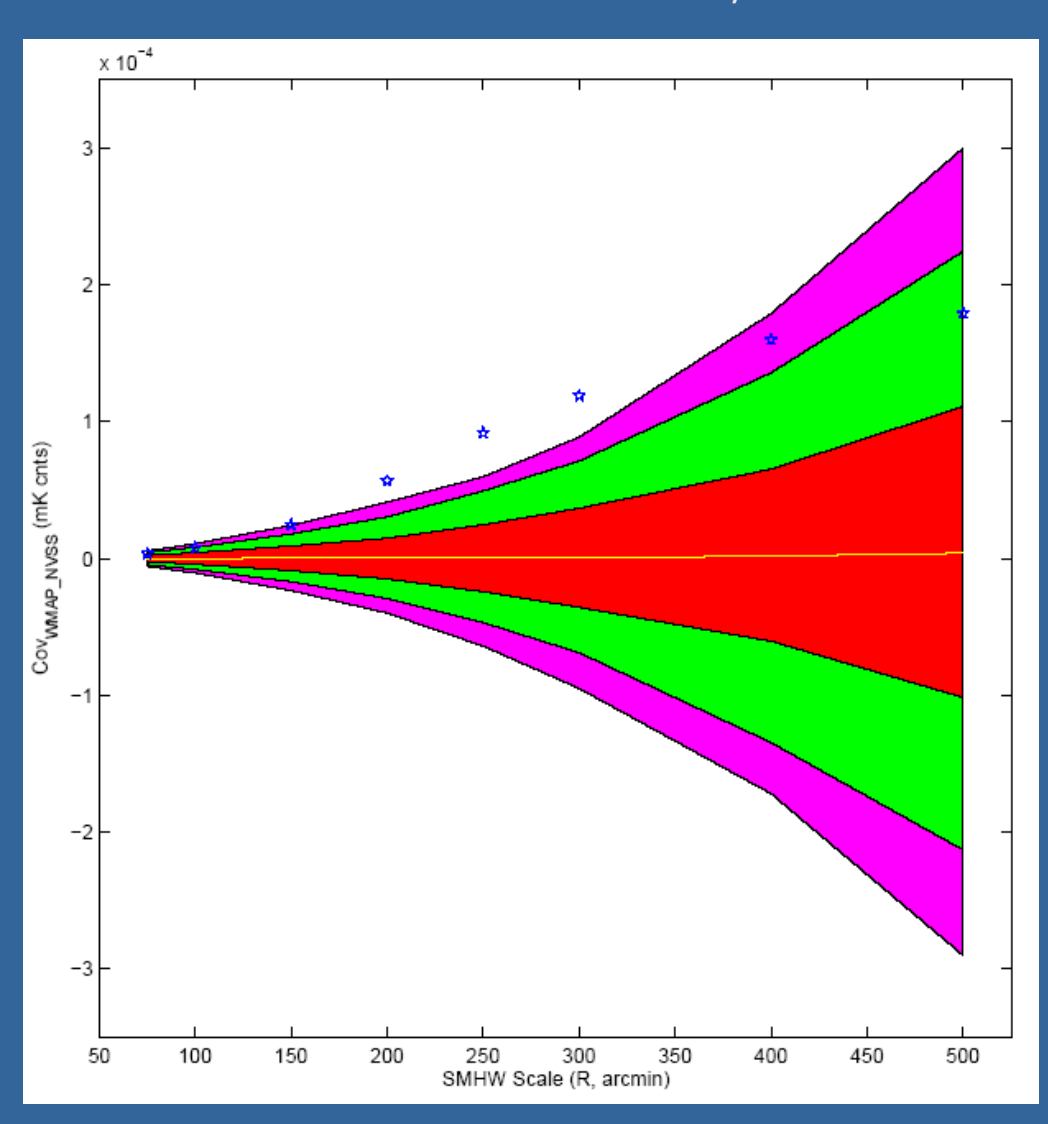
$$F_{\ell}^{N}(k) = b \int dz \frac{dN}{dz} D(z) j_{\ell}(k\eta(z))$$

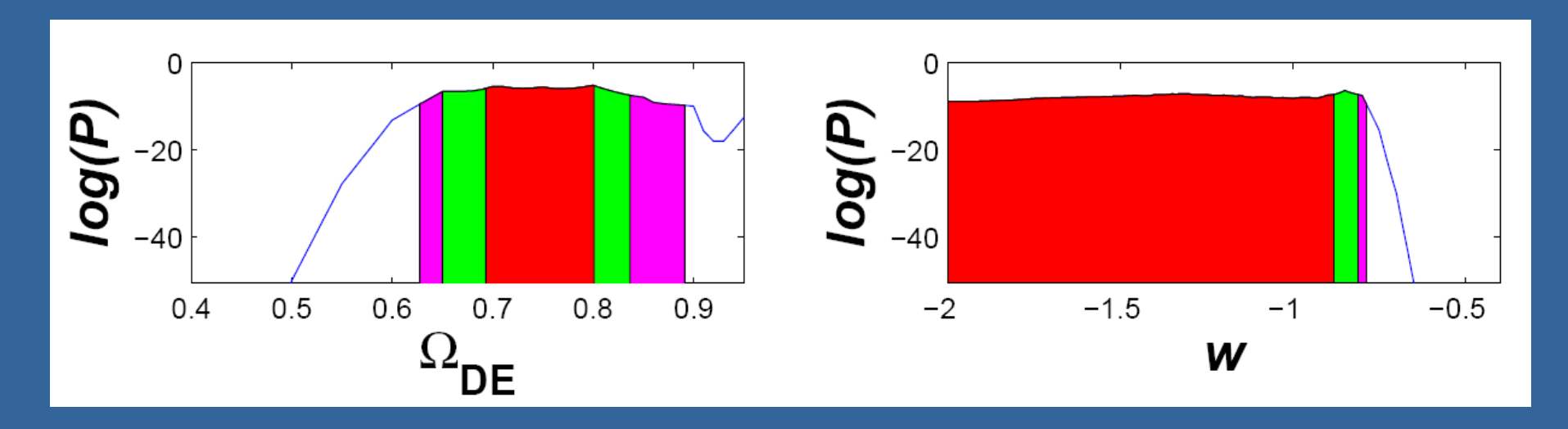
WMAP NVSS

### CORRELACIÓN WMAP-NVSS

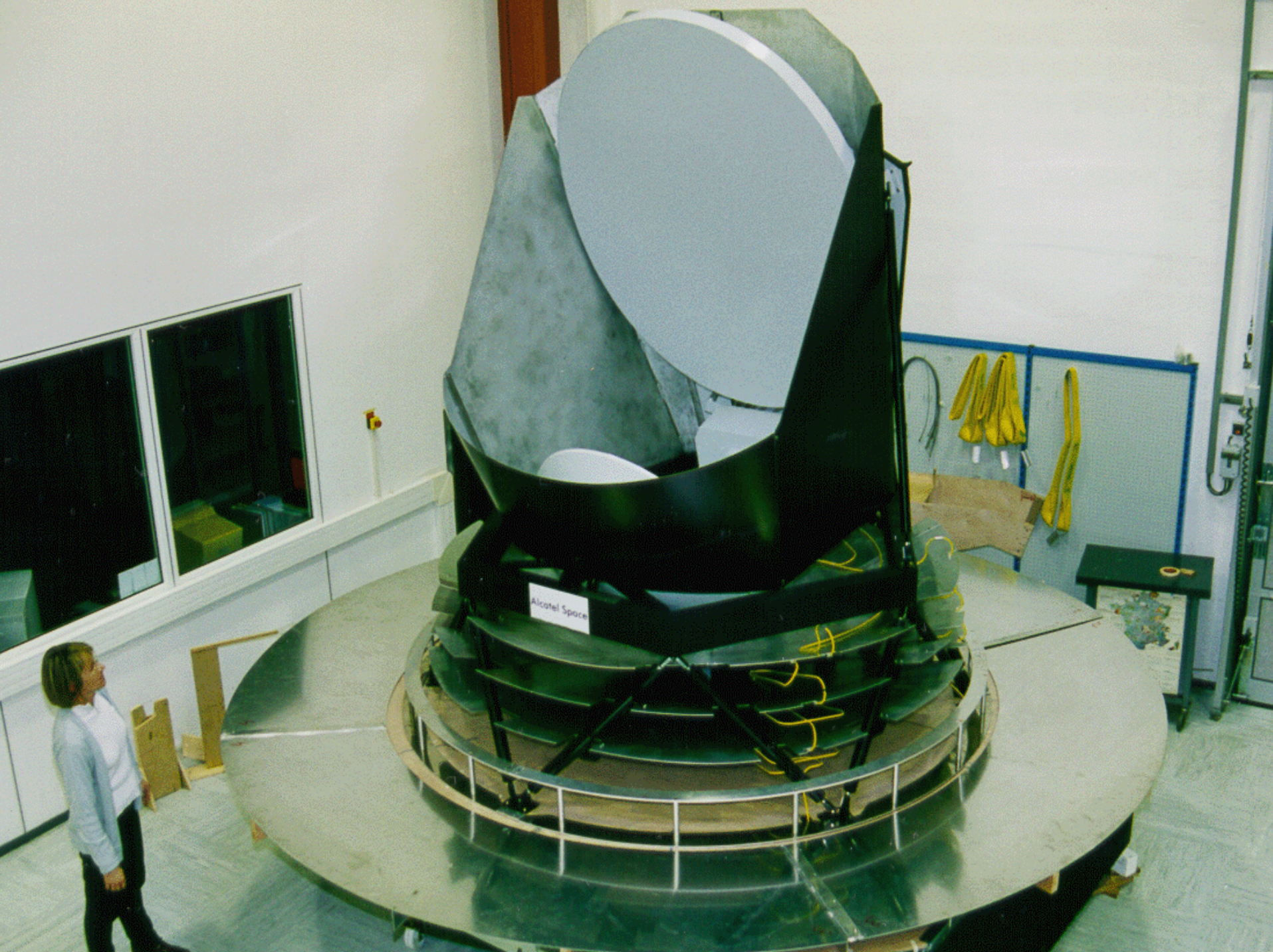


#### Vielva, M-G & Tucci 2004





 $0.69 < \Omega_{DE} < 0.86$ , w<-0.81 (2 $\sigma$ )



## La misión Planck

- Misión de tipo medio del programa científico de la ESA
- Su objetivo es medir la intensidad de la radiación cósmica en todo el cielo con una alta resolución y sensibilidad
- Fecha prevista de lanzamiento: 2007
- Carga útil: 2 instrumentos y telescopio
- Un consorcio internacional es responsable de cada instrumento:
  - Instrumento de Baja Frecuencia (LFI)
  - Instrumento de Alta Frecuencia (HFI)
- La participación española se centra en el LFI

## Low Frequency Instrument

• Freq.: 30 -100 GHz

• Techn.: HEMT correlation receivers (56)

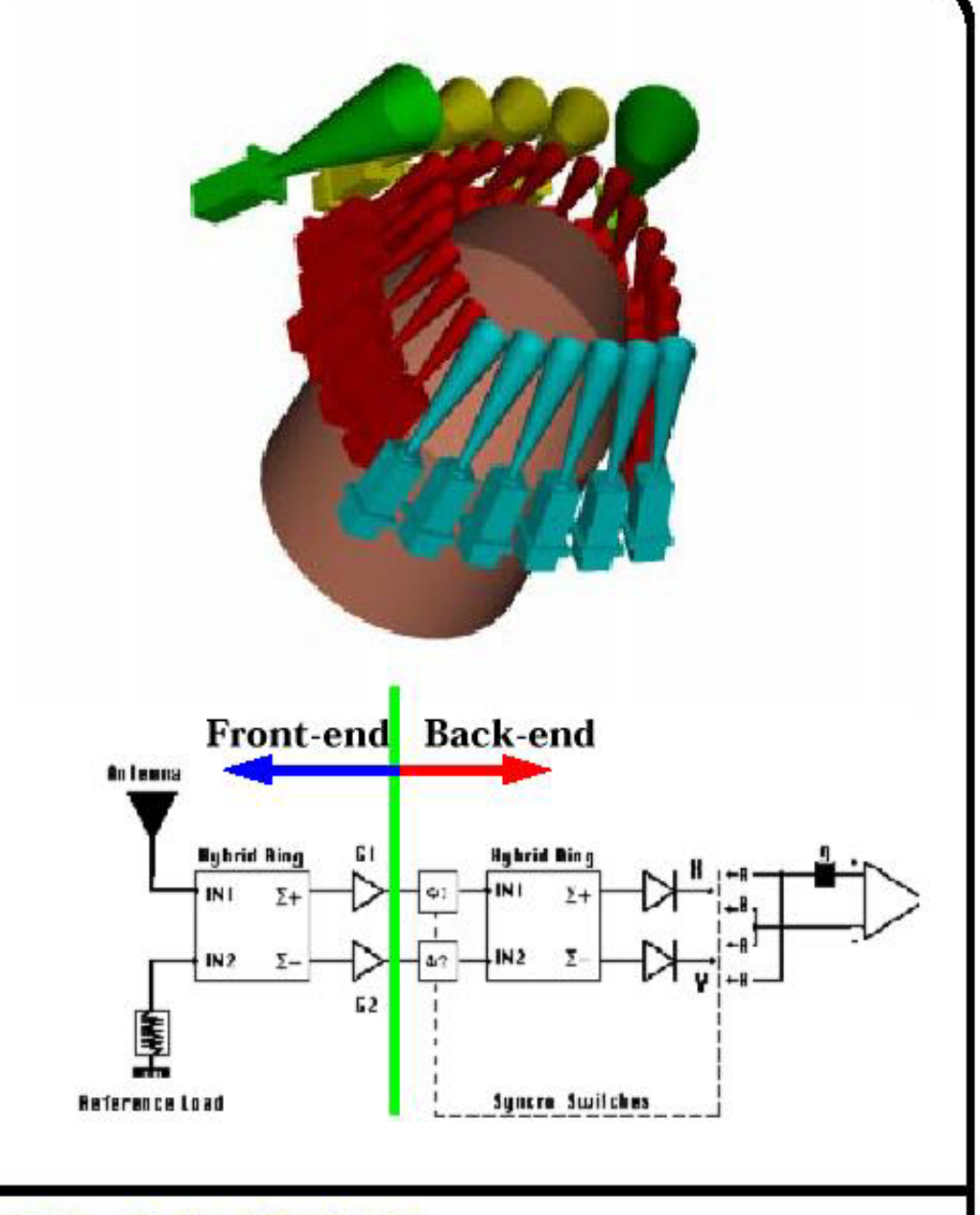
 Temp.: 20 K (Frontend), 300 K (Back-end)

Ang. res.: 10' (100
 GHz) to 33' (30 GHz)

• Best Temp. sens.: 12 μK (100 GHz)

PI: N. Mandolesi (CNR)

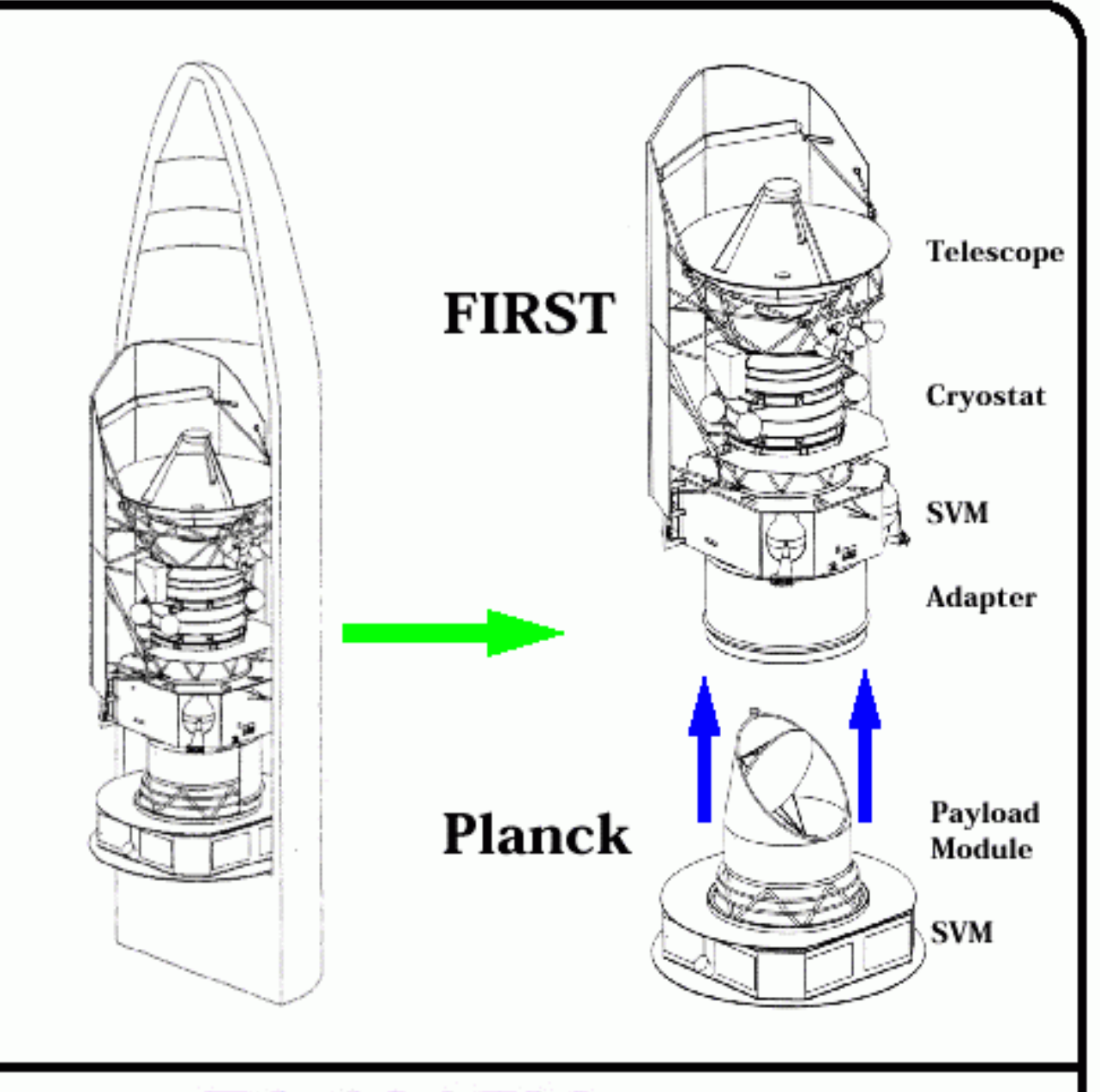
- Bologna)







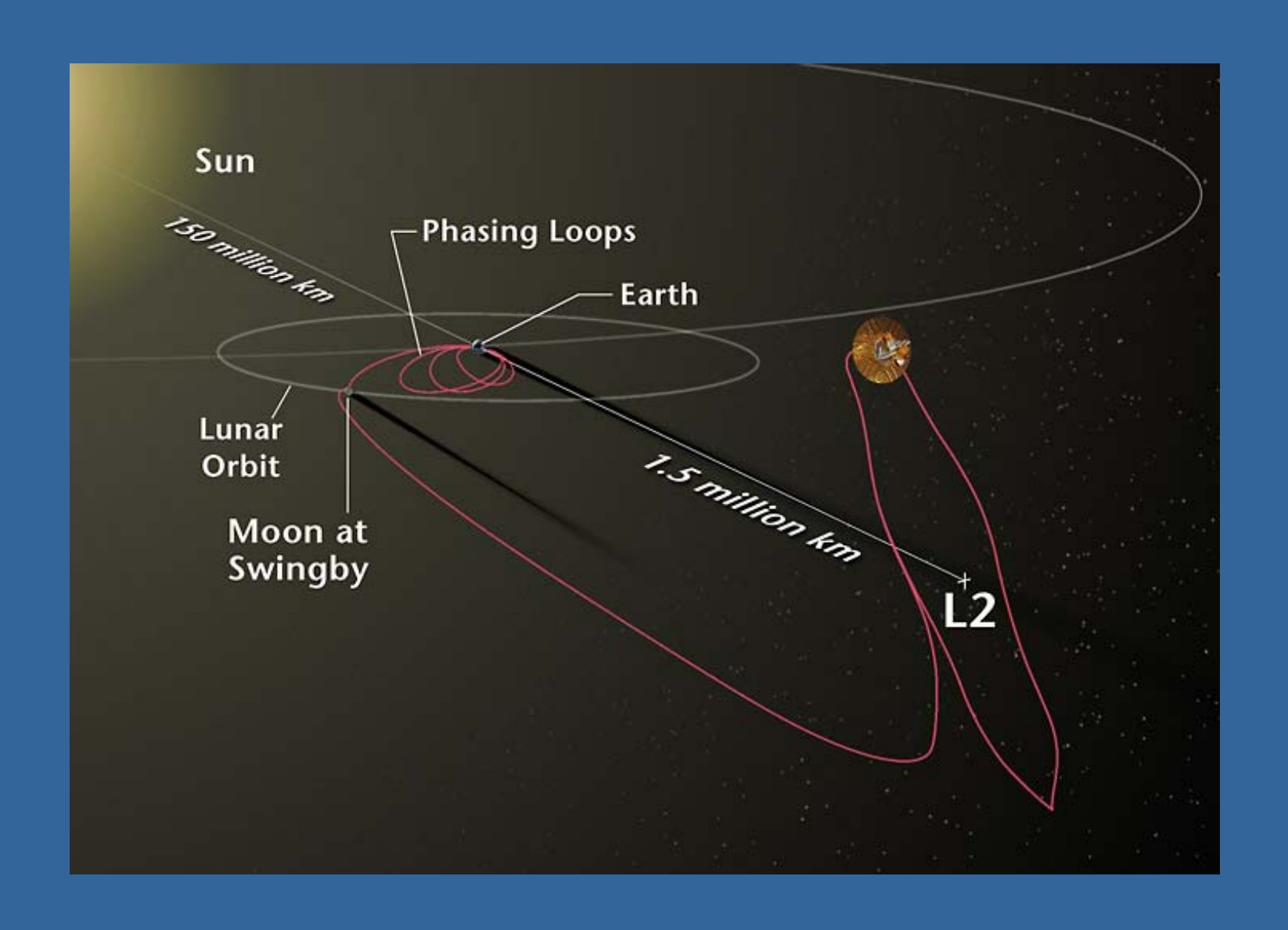
Launch configuration





PLANCK

### Punto Lagrangiano L2



#### PROBLEMAS PENDIENTES

- Naturaleza de la materia oscura
- Origen de la energía de vacío
- ¿Por qué las densidades de energía de bariones, materia oscura fría y energía de vacío son tan parecidas en el presente?
- Falta una teoría de partículas que de cuenta de los procesos físicos en el universo temprano